

چکیده

شدت جنبش نیرومند زمین توسط پارامترهای مختلفی قابل شناسایی است که میزان همبستگی آنها با پاسخ سازه به عوامل مختلفی از جمله نوع و ارتفاع سازه، پاسخ اندازه‌گیری شده، نوع خاک، پارامتر لرزه‌ای مورد بررسی و ... بستگی دارد. در این پژوهش به ارزیابی همبستگی پارامترهای زلزله در حوزه دور و نزدیک از گسل با شاخص‌های خرابی قاب‌های خمشی فولادی پرداخته شده است. بدین منظور قاب‌های دور بعدی با ۱۵، ۱۲، ۹، ۶ و ۲۰ طبقه و سه دهانه در نظر گرفته شدند. تعداد ۱۰۷ جفت رکورد زلزله شامل ۱۰۰ رکورد حوزه دور و ۱۱۴ رکورد حوزه نزدیک به گسل از بانک داده‌های PEER انتخاب شدند. تحلیل‌های تاریخچه زمانی غیرخطی توسط نرم‌افزار OpenSEES بر روی سازه‌ها انجام شد. سپس همبستگی بین پارامترهای جنبش نیرومند زمین با شاخص‌های خرابی حداکثر جابه‌جایی نسبی طبقات و انرژی مستهلك شده در قاب با استفاده از رابطه‌ی پیرسون محاسبه گردید. نتایج به دست آمده نشان می‌دهد که پارامترهای شتاب طیفی در مسود اول نوسان (Sa(T1)، Cordova، شدت طیف سرعت^۱ و شدت هاوزن^۲ در هر دو حوزه دور و نزدیک به گسل قوی‌ترین همبستگی را با پاسخ حداکثر جابه‌جایی نسبی طبقات و انرژی مستهلك شده دارند. همچنین نتایج نشان داد که در بیشتر موارد، تفاوت معنی‌داری در همبستگی اکثر پارامترهای لرزه‌ای با پاسخ سازه برای هر دو نوع خاک C و D وجود ندارد. همچنین اختلاف به وجود آمده در همبستگی بین پاسخ سازه و پارامترهای زلزله در اثر تغییر ارتفاع قاب در زلزله‌های نزدیک به گسل مشهودتر است.

واژگان کلیدی: پارامترهای جنبش نیرومند زمین، قاب خمشی فولادی، زلزله دور و نزدیک به گسل، تحلیل تاریخچه زمانی غیرخطی، همبستگی.

نوع مقاله: پژوهشی

همبستگی بین پارامترهای جنبش نیرومند زمین در زلزله‌های دور و نزدیک گسل و پاسخ سازه‌های قاب خمشی فولادی

صغر بهادری

دانش آموخته کارشناسی ارشد سازه، گروه مهندسی عمران، واحد نجف‌آباد، دانشگاه آزاد اسلامی، نجف‌آباد، ایران

سید محمد متولی امامی (نویسنده مسئول)

استادیار، گروه مهندسی عمران، واحد نجف‌آباد، دانشگاه آزاد اسلامی، نجف‌آباد، ایران، sm.emami@pci.iaun.ac.ir

- ۱ - مقدمه

رکوردهای لرزه‌ای نیز عموماً به وسیله‌ی پارامترهای نشان‌دهنده‌ی حداکثر حرکت زمین، میزان انرژی زلزله، مدت‌زمان وقوع زلزله و پارامترهای مرتبط با طیف‌های پاسخ تعیین می‌شوند. از این‌رو انتخاب پارامترهای مناسب با پاسخ سازه و شدت جنبش نیرومند زمین که بیان گر تحریک ناشی از زلزله به سازه باشد حائز اهمیت است. به بیان دیگر همبستگی میان پارامترهای جنبش نیرومند زمین و پاسخ سازه برای برآورد میزان آسیب وارد شده سازه‌ها بسیار مهم است.

شدت یک زمین‌لرزه که با خسارت ایجاد شده در سازه رابطه دارد، با پارامترهای گوناگونی که در ادبیات فنی توسط محققان پیشنهاد و معرفی شده است، قابل بیان است. با این وجود، پارامتری از زلزله که با آن بتوان خسارت وارد بر سازه را اندازه‌گیری کرد و وابسته به فاکتورهای مختلفی از جنبش نیرومند زمین مانند دامنه، مدت‌زمان، تعداد سیکل‌ها باشد، توسط محققان قابل بررسی است [۱]. شاخص‌های خرابی در ارزیابی میزان خسارت‌های وارد شده به سازه در اثر زلزله مورد استفاده قرار می‌گیرد. مشخصات

طبقه بود که برای برآورد خسارت آن شاخص پارک-انگ و حداکثر جابه‌جایی نسبی طبقات را در نظر گرفته شد. نتایج این تحقیق نشان داد که شدت طیف سرعت (VSI)، شدت هازنر و قوی ترین همبستگی و پارامترهای مرسومی همچون S_{T1} قوی ترین همبستگی با پاسخ سازه را دارند [۷]. حداکثر شتاب زمین همبستگی ضعیفی با پاسخ سازه را دارد [۸]. تأثیر مدت زمان زلزله برای تخمین باربوسا و همکاران [۸] تأثیر مدت زمان زلزله برای تخمین آسیب‌های وارده به سازه‌های قاب‌های خمشی فولادی را بررسی کرد. وی مطالعه تحلیلی خود را برای ارزیابی خسارت سازه‌های قاب خمشی فولادی [۹] و ۲۰ طبقه، واقع در مرکز شهرهای سیاتل و واشنگتن و ارتباط آن با مدت زمان جنبش نیرومند زمین انجام داد. ۴۴ رکورد زلزله برای تحلیل‌های دو بعدی دینامیکی غیرخطی افزاینده در نرم افزار DRAIN-2DX به کار گرفته شد. پاسخ‌های سازه در قالب حداکثر جابه‌جایی نسبی طبقات و انرژی مستهلك شده اندازه گیری شد. نتایج نشان داد که مدت زمان زلزله بر روی پاسخ حداکثر جابه‌جایی نسبی طبقات تأثیر دارد و پیشنهاد شد که آئین نامه‌های لرزه‌ای این اثرات را بر هر دو رویکرد طراحی بر اساس مقاومت و طراحی بر اساس عملکرد، در نظر بگیرند [۸]. نیکو و همکاران [۹] به ارزیابی رابطه بین پارامترهای لرزه‌ای شتاب با شاخص خرابی پارک-انگ اصلاح شده و حداکثر جابه‌جایی نسبی طبقات در سازه بتی پرداختند. پارامترهای لرزه‌ای انتخاب شده از این رکوردها شامل آریاس بودند. آنها با انتخاب ۱۸ رکورد زلزله در حوزه نزدیک به گسل و همچنین ۱۵ رکورد زلزله برای حوزه دور از گسل، تحلیل دینامیکی غیرخطی بر روی سه قاب بتی با دیوار برشی و سه قاب خمشی بتی با ۶ و ۸ طبقه انجام دادند. نتایج نشان داد که همبستگی بالایی بین PGV و SED با شاخص خرابی وجود دارد و این همبستگی با افزایش ارتفاع و زمان تناوب طبیعی سازه افزایش می‌یابد. همچنین PGV در سازه‌های بلند مرتبه می‌تواند به عنوان معیار مناسبی برای پیش‌بینی خرابی در سازه انتخاب شود [۹]. حبیبی و جامی [۱۰] به مطالعه همبستگی جابه‌جایی هدف در سازه‌های فولادی با پارامترهای زلزله پرداختند.

تحقیقان مطالعات بسیاری در رابطه با همبستگی بین پارامترهای زلزله و خرابی سازه انجام داده‌اند. در مطالعاتی همبستگی بین پاسخ سازه‌های با قاب خمشی بتی مسلح با حداکثر جابه‌جایی نسبی طبقات و حداکثر شتاب با مرتبه پیش‌بینی شد و این نتیجه حاصل شد که پارامترهای وابسته به انرژی، همبستگی قوی و حداکثر شتاب زمین همبستگی ضعیفی با شاخص خرابی دارد [۲-۳]. در تحقیقی که چن و وی برای به دست آوردن همبستگی بین شاخص خرابی کلی در قاب ۶ طبقه بتی مسلح با ۴۵ رکورد مصنوعی زلزله انجام دادند، به این نتیجه رسیدند که شدت آریاس^۳ و PGA همبستگی قوی با شاخص خرابی دارند [۴]. چن و همکاران [۵] برای پیدا کردن همبستگی بین شاخص‌های خرابی کلی و پارامترهای لرزه‌ای از ۸۹ رکورد زلزله استفاده کردند که شامل ۱۹ رکورد زلزله‌ای نزدیک به گسل با پالس سرعت و ۳۰ رکورد نزدیک به گسل بدون پالس سرعت و ۴۰ رکورد زلزله‌ای دور از گسل بود. آنها دریافتند که طیف شتاب، طیف جابه‌جایی همبستگی ضعیفی با شاخص‌های خرابی دارد در حالی که پارامترهای لرزه‌ای وابسته به سرعت با پاسخ سازه همبستگی قوی دارند. آکار و اوزن [۶] به بررسی تأثیر PGV بر تقاضای تغییر شکل سیستم یک درجه آزاد پرداختند. در این پژوهش ۶۰ رکورد زلزله را به سه قسمت تقسیم کردند که قسمت اول برای PGV با سرعت کمتر از ۲۰ سانتی‌متر بر ثانیه و دو قسمت دیگر به ترتیب سرعت‌های حداکثر بین ۲۰ تا ۴۰ و ۴۰ تا ۶۰ سانتی‌متر بر ثانیه داشتند. رکوردهای انتخابی دارای فواصل بین ۲/۵ تا ۲۳ کیلومتر، بزرگ‌گای زلزله بین ۵/۵ تا ۷/۶ ریشر و فرکانسی بین ۰/۱ تا ۰/۲ هرتز بودند. نتیجه این پژوهش نشان داد که حداکثر سرعت زمین بالاترین همبستگی را در مقایسه با سایر پارامترهای بررسی شده با پاسخ سازه دارد. کاو و رونق [۷] در سال ۲۰۱۴ به بررسی همبستگی بین پارامترهای لرزه‌ای رکوردهای دور از گسل و شاخص خرابی قاب‌های بتی کوتاه مرتبه پرداختند. در این مقاله از ۱۰۴۰ رکورد دور از گسل با Rrup بیشتر از ۲۰ و کمتر از ۱۰۰ کیلومتر استفاده شد. سازه مورد بررسی یک قاب سه

داد پارامترهای وابسته به سرعت نظیر شدت هاوزنر، جذر میانگین مربعات سرعت (V_{rms})، VSI و PGV به خوبی با پاسخ جابه‌جایی غیرالاستیک سازه‌های میان مرتبه در خاک نرم ارتباط دارند.

همان‌طور که ملاحظه گردید مطالعات زیادی سعی در معرفی بهترین پارامتر زلزله جهت تعیین خسارت ایجاد در سازه‌ها را دارند. هرچند مطالعه جامعی که پارامترهای زلزله در حوزه دور و نزدیک به گسل بر روی محدوده‌ی پریودهای مختلف سازه را انجام دهد مشاهده نشد؛ بنابراین در این مقاله همبستگی بین پارامترهای جنبش نیرومند زمین در زلزله‌های دور و نزدیک به گسل و شاخص خرابی سازه‌ها مورد بررسی قرار گرفت. بدین منظور ۱۰۰ رکورد زلزله با فواصل بین ۱۰ تا ۷۷ کیلومتر، برای زلزله‌های دور از گسل و ۱۱۴ رکورد با فاصله کمتر از ۱۰ کیلومتر برای زلزله‌های نزدیک گسل انتخاب شد. قاب‌های مورد مطالعه از نوع قاب خمشی فولادی با تعداد طبقات ۳، ۶، ۹، ۱۲، ۱۵، ۲۰ و ۲۱ انتخاب شدند. جهت برآورد پاسخ سازه، شاخص‌های خرابی شامل حداکثر جابه‌جایی نسبی طبقات و انرژی جذب شده در قاب‌ها استفاده شد.

۲- کورددهای زلزله و پارامترهای آن

رکورددهای دور از گسل شامل ۲۲ جفت رکورد از دستورالعمل PEER P695 [۱۹] و ۷۸ رکورد از پایگاه داده PEER (Pacific Earthquake Engineering Research Center) که ویژگی‌های آن شبیه پیشنهاد دستورالعمل مذکور است، انتخاب شدند. همچنین ۵۷ رکورد دور از گسل شامل ۲۷ رکورد از FEMAP ۳۰ و ۳۰ رکورد از پایگاه PEER انتخاب شدند. لازم به ذکر است که مشخصات رکورددهای انتخابی از پایگاه PEER مشابه رکورددهای پیشنهادی دستورالعمل FEMA-P695 بوده که در ادامه شرح داده شده است.

- بزرگی زلزله بین ۶/۵ تا ۷/۶
- مشخصات خاک بر اساس NEHRP خاک نوع C و D
- گسلش از نوع معکوس یا امتدادلغز

آنها گزارش کردند که علاوه بر آنکه PGA همبستگی پایینی با جابه‌جایی سازه دارد، پارامترهای محاسبه شده در حوزه فرکانس مانند زمان تناوب متوسط (T_m) نیز با پاسخ غیرخطی سازه همبستگی پایینی دارند [۱۰]. هاوزنر [۱۱] نیز به این نتیجه رسیدند که نمی‌توان پدیده‌ی پیچیده زلزله را با تک پارامتری مانند بیشینه شتاب زمین توصیف کرد. برآورد مقدار آسیب واردہ به سازه در اثر زلزله نشان می‌دهد که نسبت یکسانی بین همه‌ی پارامترهای حرکت زمین و پاسخ سازه‌ها وجود ندارد و این نسبت بین هر پارامتر زلزله و پاسخ سازه متفاوت می‌باشد، لذا مطالعات برای دسته‌بندی پارامتر مؤثر برای انواع خاک و سیستم سازه‌ای به منظور پیش‌بینی صحیح از رفتار زلزله و کاهش خسارات احتمالی ضروری است [۱۱]. برخی دیگر از مطالعات در ادبیات فنی نشان دادند که آسیب‌های واردہ بر ساختمان‌ها پس از زلزله‌های شدید با پارامترهای مختلف زلزله، همبستگی‌های متفاوتی دارند [۱۲-۱۵]. کناری و چیلیکاگ [۱۶] همبستگی بین شدت‌های اندازه‌گیری جنبش نیرومند زمین و شاخص‌های خرابی قاب‌های میان‌پر بنایی را مورد مطالعه قرار دادند. آنها در مطالعه خود از دو سری شتاب‌نگاشت معمولی و با پالس استفاده کردند و به این نتیجه رسیدند که از میان شدت‌های مورد مطالعه، شتاب و سرعت طیفی بیشترین همبستگی را با شاخص خرابی حداکثر جابه‌جایی نسبی طبقات قاب فولادی میان‌پر دارد. پیزون و همکاران [۱۷] با انجام تحلیل‌های تاریخچه زمانی غیرخطی میزان همبستگی پارامترهای جنبش نیرومند زمین با پاسخ حداکثر جابه‌جایی نسبی طبقات قاب‌های خمشی فولادی با ۳، ۷ و ۱۳ طبقه را مورد ارزیابی قرار دادند. نتایج به دست آمده نشان داد که پایین‌ترین همبستگی مربوط به PGA و بالاترین آن در دو شدت PGV و جذر میانگین مربعات سرعت (V_{rms}) مشاهده می‌شود. در نهایت یک شدت اندازه‌گیری جدید به نام $I_{\Delta-PGV}$ پیشنهاد دادند که هر دو مقدار PGV و مدت‌زمان معنی‌دار^۵ را در نظر می‌گیرد. کمال و اینل [۱۸] در مطالعه خود به بررسی همبستگی بین پارامترهای زلزله و پاسخ جابه‌جایی ساختمان‌های بتزن آرمه میان‌مرتبه‌ی واقع در خاک‌های نرم پرداختند. نتایج نشان

- حداقل و حداکثر فاصله (R_{jb}) ۱۰ کیلومتر به ترتیب برای مشخصات رکوردهای دور و نزدیک گسل انتخابی در جدول‌های (۱) و (۲) نشان داده شده است.
- حداقل و حداکثر شتاب زمین PGA برابر $g/20$ است.

جدول (۱): رکوردهای دور از گسل استفاده در تحلیل.

Rrup	سازوکار گسل	نوع خاک براساس (NEHRP)	Vs (متر بر ثانیه)	نام ایستگاه	M _w	سال	زلزله	RSN	ردیف
۱۷/۱۵	Thrust	D	۳۵۶	Beverly Hills	۶/۷	۱۹۹۴	نورثربیج	۹۵۳	۱
۱۲/۴۴	Thrust	D	۳۰۹	Canyon Country	۶/۷	۱۹۹۴	نورثربیج	۹۶۰	۲
۱۲/۰۴	Strike-Slip	D	۳۲۶	Bolu	۷/۱	۱۹۹۹	دوژه، ترکیه	۱۶۰۲	۳
۱۱/۶۶	Strike-Slip	C	۶۸۵	Hector	۷/۱	۱۹۹۹	هکتور ماین	۱۷۸۷	۴
۲۲/۰۳	Strike-Slip	D	۲۷۵	Delta	۶/۵	۱۹۷۹	ایپریال ولی	۱۶۹	۵
۱۲/۵۶	Strike-Slip	D	۱۹۶	El Centro Array	۶/۵	۱۹۷۹	ایپریال ولی	۱۷۴	۶
۷/۰۸	Strike-Slip	C	۶۰۹	Nishi-Akashi	۶/۹	۱۹۹۵	کوبه، ژاپن	۱۱۱۱	۷
۱۹/۱۵	Strike-Slip	D	۲۵۶	Shin-Osaka	۶/۹	۱۹۹۵	کوبه، ژاپن	۱۱۱۶	۸
۱۵/۳۷	Strike-Slip	D	۲۷۶	Duzce	۷/۰	۱۹۹۹	کوجائیلی، ترکیه	۱۱۵۸	۹
۱۳/۴۹	Strike-Slip	C	۵۲۳	Arcelik	۷/۵	۱۹۹۹	کوجائیلی، ترکیه	۱۱۴۸	۱۰
۲۲/۶۲	Strike-Slip	D	۳۵۴	Yermo Fire Station	۷/۳	۱۹۹۲	لاندرز	۹۰۰	۱۱
۱۹/۷۴	Strike-Slip	D	۲۷۱	Coolwater	۷/۳	۱۹۹۲	لاندرز	۸۴۸	۱۲
۱۵/۲۳	Strike-Slip	D	۲۸۹	Capitola	۶/۹	۱۹۸۹	لوماپریتا	۷۵۲	۱۳
۱۲/۸۲	Strike-Slip	D	۳۵۰	Gilroy Array	۶/۹	۱۹۸۹	لوماپریتا	۷۶۷	۱۴
۱۲/۵۵	Strike-Slip	C	۷۲۴	Abbar	۷/۴	۱۹۹۰	منجل، ایران	۱۶۳۳	۱۵
۱۸/۲	Strike-Slip	D	۱۹۲	El Centro Imp. Co. Cent	۶/۵	۱۹۸۷	Superstition Hills	۷۲۱	۱۶
۱۱/۱۶	Strike-Slip	D	۲۰۸	Poe Road (temp)	۶/۵	۱۹۸۷	Superstition Hills	۷۲۵	۱۷
۹/۹۴	Thrust	C	۲۵۹	CHY101	۷/۶	۱۹۹۹	چی‌چی، تایوان	۱۲۴۴	۱۸
۲۶	Thrust	D	۷۰۵	TCU045	۷/۶	۱۹۹۹	چی‌چی، تایوان	۱۴۸۵	۱۹
۲۲/۷۷	Thrust	C	۳۱۶	LA - Hollywood Stor FF	۶/۶	۱۹۷۱	سانفرناندو	۶۸	۲۰
۱۵/۸۲	Thrust	D	۴۲۵	Tolmezzo	۶/۵	۱۹۷۶	فریلی، ایتالیا	۱۲۵	۲۱
۲۶/۴۵	Reverse	D	۳۳۶	Santa Monica City Hall	۶/۷	۱۹۹۴	نورثربیج-۰۱	۱۰۷۷	۲۲
۲۷/۰۱	Reverse	D	۳۰۸	LA - Saturn St	۶/۷	۱۹۹۴	نورثربیج-۰۱	۱۰۰۳	۲۳
۲۶/۷۳	Reverse	D	۳۱۵	LA - N Westmoreland	۶/۷	۱۹۹۴	نورثربیج-۰۱	۹۹۸	۲۴
۳۷/۳۶	Reverse	D	۳۴۹	LA - Obregon Park	۶/۷	۱۹۹۴	نورثربیج-۰۱	۹۹۹	۲۵
۲۲/۶۳	Reverse	C	۴۵۰	Castaic - Old Ridge Route	۶/۶	۱۹۷۱	سانفرناندو	۵۷	۲۶
۱۵/۹۶	Strike Slip	C	۵۲۷	Temblor pre-1969	۶/۲	۱۹۶۶	پارکفیلد	۳۳	۲۷
۲۲/۶۸	Reverse	D	۳۳۳	Gilroy Array #7	۶/۹	۱۹۸۹	لوماپریتا	۷۷۰	۲۸
۳۱/۴۳	Reverse	C	۶۰۵	Joetsu Yanagishima paddocks	۶/۸	۲۰۰۷	چوتسو-اکی	۴۸۴۶	۲۹
۲۲/۴۸	Reverse	C	۶۱۰	Joetsu Oshimaku Oka	۶/۸	۲۰۰۷	چوتسو-اکی	۴۸۴۵	۳۰

ادامه جدول (۱).

Rrup	سازوکار گسل	نوع خاک براساس (NEHRP)	Vs (متر بر ثانیه)	نام ایستگاه	M _w	سال	زلزله	RSN	ردیف
۲۰/۳۴	Reverse	C	۵۶۱	Coyote Lake Dam	۶/۹	۱۹۸۹	لوماپریتا	۷۵۵	۳۱
۷۶/۹۷	Reverse	D	۱۹۸	Emeryville; Pacific Park #2	۶/۹	۱۹۸۹	لوماپریتا	۷۵۸	۳۲
۲۵/۹۱	Reverse	C	۵۱۵	Loleta Fire Station	۷/۰	۱۹۹۲	کیپمندوسینو	۳۷۵۰	۳۳
۲۲/۴۴	Reverse	C	۴۳۰	Ojiya City	۶/۸	۲۰۰۷	چوتسو-اکی	۴۸۶۸	۳۴
۲۰/۱۸	Reverse	C	۴۷۹	MYG004	۶/۹	۲۰۰۸	ایوات	۵۶۶۳	۳۵
۲۰/۷۲	Reverse	C	۴۵۰	Castaic - Old Ridge Route	۶/۷	۱۹۹۴	نورثریج-۰۱	۹۶۳	۳۶
۱۶/۰۴	Reverse	D	۲۳۳	CHY036	۷/۶	۱۹۹۹	چی-چی، تایوان	۱۲۰۳	۳۷
۱۹/۸۳	Reverse	C	۴۹۲	CHY041	۷/۶	۱۹۹۹	چی-چی، تایوان	۱۲۰۵	۳۸
۳۵	Reverse	C	۵۲۰	TCU047	۷/۶	۱۹۹۹	چی-چی، تایوان	۱۴۸۷	۳۹
۴۵/۱۸	Reverse	C	۴۴۶	TCU095	۷/۶	۱۹۹۹	چی-چی، تایوان	۱۵۲۴	۴۰
۲۲/۳۷	Reverse	C	۴۹۶	CHY080	۶/۲	۱۹۹۹	چی-چی، تایوان	۲۴۹۵	۴۱
۲۶/۰۵	Reverse	D	۳۰۵	TCU065	۶/۲	۱۹۹۹	چی-چی، تایوان	۲۶۱۸	۴۲
۲۲/۷۴	Reverse	C	۶۵۵	Joetsu Uragawaraku Kamabucchi	۶/۸	۲۰۰۷	چوتسو-اکی	۴۸۴۲	۴۳
۶۰/۸۹	Reverse	D	۳۰۶	SMART1 M02	۶/۳	۱۹۸۶	اسمارت ۱، تایوان	۳۶۴۳	۴۴
۱۸/۳۱	Reverse	C	۴۵۹	Centerville Beach, Naval Fac	۷/۰	۱۹۹۲	کیپمندوسینو	۳۷۴۶	۴۵
۱۹/۳۲	Reverse	C	۳۷۸	Ferndale Fire Station	۷/۰	۱۹۹۲	کیپمندوسینو	۳۷۴۸	۴۶
۲۰/۴۱	Reverse	D	۳۵۵	Fortuna Fire Station	۷/۰	۱۹۹۲	کیپمندوسینو	۳۷۴۹	۴۷
۲۰/۲۶	Reverse	C	۴۸۸	Anderson Dam (Downstream)	۶/۹	۱۹۸۹	لوماپریتا	۷۳۹	۴۸
۲۲/۴۴	Reverse	C	۴۳۰	Ojiya City	۶/۸	۲۰۰۷	چوتسو-اکی	۴۸۸۲	۴۹
۱۷/۹۳	Reverse	C	۴۱۴	Joetsu Ogataku	۶/۸	۲۰۰۷	چوتسو-اکی	۴۸۴۸	۵۰

جدول (۲): دکوردهای نزدیک گسل استفاده در تحلیل.

Rrup	سازوکار گسل	نوع خاک براساس (NEHRP)	Vs (متر بر ثانیه)	نام ایستگاه	M _w	سال	زلزله	RSN	ردیف
۷/۲۹	Strike-Slip	D	۲۴۲/۰۵	Chihuahua	۶/۵	۱۹۷۹	ایمپریال ولی-۰۶	۱۶۵	۱
۲/۶۶	Strike-Slip	D	۲۲۳/۰۳	Bonds Corner	۶/۵	۱۹۷۹	ایمپریال ولی-۰۶	۱۶۰	۲
۹/۶	Thrust	C	۶۰۵/۰۴	Site 1	۶/۷۶	۱۹۸۵	ناهانی، کانادا	۴۹۵	۳
۴/۹۳	Thrust	C	۶۰۵/۰۴	Site 2	۶/۷۶	۱۹۸۵	ناهانی، کانادا	۴۹۶	۴
۱۰/۷۲	Strike-Slip	C	۴۷۶/۰۵	BRAN	۶/۹۳	۱۹۸۹	لوماپریتا	۷۴۱	۵
۳/۸۵	Strike-Slip	C	۴۶۲/۲۴	Corralito	۶/۹۳	۱۹۸۹	لوماپریتا	۷۵۳	۶
۶/۹۶	Thrust	C	۵۶۷/۷۸	Cape Mendocino	۷/۰۱	۱۹۹۲	کیپمندوسینو	۸۲۵	۷
۵/۴۶	Thrust	C	۲۵۹/۵۹	Karakyr	۶/۸	۱۹۷۶	گازلی، شوروی سابق	۱۶۶	۸
۸/۴۴	Thrust	C	۳۸۰/۰۶	LA - Sepulveda VA Hospital	۶/۶۹	۱۹۹۴	نورثریج-۰۱	۱۰۰۴	۹
۱۲/۰۹	Thrust	D	۲۸۰/۸۶	Northridge - 17645 Saticoy St	۶/۶۹	۱۹۹۴	نورثریج-۰۱	۱۰۴۸	۱۰

ادامه جدول (۲).

Rrup	سازوکار گسل	سازوکار براساس (NEHRP)	نوع خاک براساس (NEHRP)	Vs (متر بر ثانیه)	نام استگاه	M _w	سال	زلزله	RSN	ردیف
۴/۸۳	Strike-Slip	D	۲۹۷		Yarimca	۷/۵۱	۱۹۹۹	کوجائیلی، ترکیه	۱۱۷۶	۱۱
۰/۶۲	Thrust	C	۴۲۳/۶۳		TCU067	۷/۶۲	۱۹۹۹	چی چی، تایوان	۱۵۰۴	۱۲
۱۱/۴۸	Thrust	C	۶۶۵/۲		TCU084	۷/۶۲	۱۹۹۹	چی چی، تایوان	۱۵۱۷	۱۳
۲/۷۴	Strike-Slip	C	۳۲۹/۴		TAPS Pump Station #10	۷/۹	۲۰۰۲	دانایی، آلاسکا	۲۱۱۴	۱۴
۱/۳۵	Strike-Slip	D	۲۰۳/۲۲		El Centro Array #6	۶/۵۳	۱۹۷۹	ایمپریال ولی-۰۶	۱۸۱	۱۵
۰/۵۶	Strike-Slip	D	۲۱۰/۵۱		El Centro Array #7	۶/۵۳	۱۹۷۹	ایمپریال ولی-۰۶	۱۸۲	۱۶
۱۰/۸۴	Normal	B	۳۸۲		Sturno (STN)	۶/۹	۱۹۸۰	ابرپیانا، ایتالیا-۰۱	۲۹۲	۱۷
۰/۹۵	Strike-Slip	D	۳۴۸/۶۹		Parachute Test Site	۶/۵۴	۱۹۸۷	Superstition Hills-02	۷۲۲	۱۸
۴/۳۸	Strike-Slip	D	۳۵۲/۰۵		Erzincan	۶/۶۹	۱۹۹۲	ادزیکان، ترکیه	۸۲۱	۱۹
۸/۱۸	Thrust	C	۴۲۲/۱۷		Petrolia	۷/۰۱	۱۹۹۲	کیپ مندوسینو	۸۲۸	۲۰
۲/۱۹	Strike Slip	C	۱۳۶۹		Lucerne	۷/۲۸	۱۹۹۲	لاندرز	۸۷۹	۲۱
۶/۵	Thrust	D	۲۸۲/۲۵		Rinaldi Receiving Sta	۶/۶۹	۱۹۹۴	نورثربیج-۰۱	۱۰۶۳	۲۲
۵/۳	Thrust	C	۴۴۰/۰۵		Sylmar - Olive View Med FF	۶/۶۹	۱۹۹۴	نورثربیج-۰۱	۱۰۸۶	۲۳
۷/۲۱	Strike Slip	B	۸۱۱		Izmit	۷/۵۱	۱۹۹۹	کوجائیلی، ترکیه	۱۱۶۵	۲۴
۰/۵۷	Thrust	D	۳۰۵/۸۵		TCU065	۷/۶۲	۱۹۹۹	چی چی، تایوان	۱۵۰۳	۲۵
۱/۴۹	Thrust	C	۷۱۴/۲۷		TCU102	۷/۶	۱۹۹۹	چی چی، تایوان	۱۵۲۹	۲۶
۶/۵۸	Strike Slip	D	۲۸۱/۸۶		Duzce	۷/۱	۱۹۹۹	دوزجه، ترکیه	۱۶۰۵	۲۷
۸/۵	Reverse	C	۳۸۰/۸۹		Saratoga - Aloha Ave	۶/۹۳	۱۹۸۹	لوماپریتا	۸۰۲	۲۸
۵/۴۳	Reverse	C	۳۷۳/۰۷	Jensen Filter Plant Administrative Building	۶/۶۹	۱۹۹۴	نورثربیج-۰۱	۹۸۲	۲۹	
۵/۴۳	Reverse	C	۵۲۵/۷۹	Jensen Filter Plant Generator Building	۶/۶۹	۱۹۹۴	نورثربیج-۰۱	۹۸۳	۳۰	
۵/۹۲	Reverse	C	۶۲۸/۹۹	LA Dam	۶/۶۹	۱۹۹۴	نورثربیج-۰۱	۱۰۱۳	۳۱	
۷/۲۶	Reverse	C	۵۰۸/۰۸	Pacoima Kagel Canyon	۶/۶۹	۱۹۹۴	نورثربیج-۰۱	۱۰۵۲	۳۲	
۵/۱۹	Reverse	C	۳۷۰/۵۲	Sylmar - Converter Sta East	۶/۶۹	۱۹۹۴	نورثربیج-۰۱	۱۰۸۵	۳۳	
۳/۷۶	Reverse	C	۴۸۷/۲۷	TCU049	۷/۶۲	۱۹۹۹	چی چی، تایوان	۱۴۸۹	۳۴	
۰/۶۶	Reverse	C	۵۷۹/۱	TCU052	۷/۶۲	۱۹۹۹	چی چی، تایوان	۱۴۹۲	۳۵	
۰/۳۲	Reverse	C	۴۸۷/۳۴	TCU068	۷/۶۲	۱۹۹۹	چی چی، تایوان	۱۵۰۵	۳۶	
۰/۸۹	Reverse	C	۵۷۳/۰۲	TCU075	۷/۶۲	۱۹۹۹	چی چی، تایوان	۱۵۱۰	۳۷	
۲/۷۴	Reverse	C	۶۱۴/۹۸	TCU076	۷/۶۲	۱۹۹۹	چی چی، تایوان	۱۵۱۱	۳۸	
۲/۱۱	Reverse	C	۳۸۹/۴۱	TCU101	۷/۶۲	۱۹۹۹	چی چی، تایوان	۱۵۲۸	۳۹	
۴۵/۱۸	Strike Slip	C	۴۸۷/۴	Bam	۶/۶	۲۰۰۳	بم، ایران	۴۰۴۰	۴۰	
۲۲/۳۷	Reverse	C	۴۶۲/۲۳	Bar-Skupstina Opstine	۷/۱	۱۹۷۹	موشگرو، یوگسلاوی	۴۴۵۱	۴۱	
۲۶/۰۵	Strike Slip	C	۶۹۰	IRIGM 487	۷/۱۴	۱۹۹۹	دوزجه، ترکیه	۸۱۶۴	۴۲	
۲۲/۷۴	Strike Slip	D	۲۴۲/۰۵	Agrarias	۶/۶۹	۱۹۷۹	ایمپریال ولی-۰۶	۱۵۹	۴۳	
۶۰/۸۹	Strike Slip	D	۱۹۲/۰۵	EC County Center FF	۶/۶۹	۱۹۷۹	ایمپریال ولی-۰۶	۱۷۰	۴۴	

ادامه جدول (۲).

Rrup	سازوکار گسل	سازه براساس (NEHRP)	نوع خاک براساس (NEHRP)	Vs (متر بر ثانیه)	نام ایستگاه	Mw	سال	زلزله	RSN	ردیف
۱۸/۳۱	Strike Slip	D	۲۶۴/۵۷	El Centro - Meloland Geot. Array	۶/۶۹	۱۹۷۹	۰۶- ایمپریال ولی	۱۷۱	۴۵	
۱۹/۳۲	Strike Slip	D	۲۰۸/۹۱	El Centro Array #4	۶/۵۳	۱۹۷۹	۰۶- ایمپریال ولی	۱۷۹	۴۶	
۲۰/۴۱	Strike Slip	D	۲۰۵/۶۳	El Centro Array #5	۶/۵۳	۱۹۷۹	۰۶- ایمپریال ولی	۱۸۰	۴۷	
۲۰/۲۶	Strike Slip	D	۲۰۲/۲۶	El Centro Differential Array	۶/۵۳	۱۹۷۹	۰۶- ایمپریال ولی	۱۸۴	۴۸	
۲۳/۴۴	Strike Slip	D	۲۰۲/۸۹	Holtville Post Office	۶/۵۳	۱۹۷۹	۰۶- ایمپریال ولی	۱۸۵	۴۹	
۱۷/۹۳	Reverse	D	۲۶۹/۱۴	Newhall - Fire Sta	۶/۶۹	۱۹۹۴	۰۱- نورث‌ریچ	۱۰۴۴	۵۰	
۵/۴۸	Reverse	D	۲۸۵/۹۳	Newhall - W Pico Canyon Rd.	۶/۶۹	۱۹۹۴	۰۱- نورث‌ریچ	۱۰۵۴	۵۱	
۷/۴۶	Reverse	D	۳۲۵/۶۷	Pardee - SCE	۶/۶۹	۱۹۹۴	۰۱- نورث‌ریچ	۱۰۵۴	۵۲	
۵/۳۵	Reverse	D	۲۵۱/۲۴	Sylmar - Converter Sta	۶/۶۹	۱۹۹۴	۰۱- نورث‌ریچ	۱۰۸۴	۵۳	
۰/۹۶	Strike Slip	D	۳۱۲	KJMA	۶/۹	۱۹۹۵	کوه، ژاپن	۱۱۰۶	۵۴	
۳/۳۱	Strike Slip	D	۱۹۸	Port Island (0 m)	۶/۹	۱۹۹۵	کوه، ژاپن	۱۱۱۴	۵۵	
۰/۲۷	Strike Slip	D	۳۱۲	Takarazuka	۶/۹	۱۹۹۵	کوه، ژاپن	۱۱۱۹	۵۶	
۱/۴۷	Strike Slip	D	۲۵۶	Takatori	۶/۹	۱۹۹۵	کوه، ژاپن	۱۱۲۰	۵۷	

مورد بررسی قرار داد. این شاخص‌های خرابی معمولاً وابسته به جابه‌جایی هستند مانند حداکثر جابه‌جایی نسبی طبقات و حداکثر جابه‌جایی بام نسبت به تراز پایه‌ی سازه و یا وابسته به انرژی مستهلك شده در سازه بوده و یا شاخص‌های خرابی به صورت ترکیبی مانند شاخص پارک-انگ [۲۱] که مرتبط با جابه‌جایی و انرژی است، پیشنهاد شده است.

حداکثر جابه‌جایی نسبی طبقات یک شاخص کلی خرابی است که برای ارزیابی سازه استفاده می‌شود. جابه‌جایی نسبی طبقه به ارتفاع آن مطابق رابطه (۱) به دست می‌آید.

$$ID = \frac{u_m}{h} \quad (1)$$

که در آن u_m جابه‌جایی نسبی طبقه و h ارتفاع طبقه می‌باشد. دیگر پاسخ سازه که مورد بررسی قرار گرفته است، انرژی جذب شده توسط قاب فولادی می‌باشد که از به دست آمدن مساحت زیر نمودار برش پایه و جابه‌جایی بام و به روش انگرال گیری ذوزنقه‌ای به دست می‌آید [۲۲]. یک نمونه از منحنی برش پایه بر حسب جابه‌جایی بام رکورد زلزله نورث‌ریچ سال ۱۹۹۴ برای قاب سه طبقه در شکل (۱) نشان داده شده است.

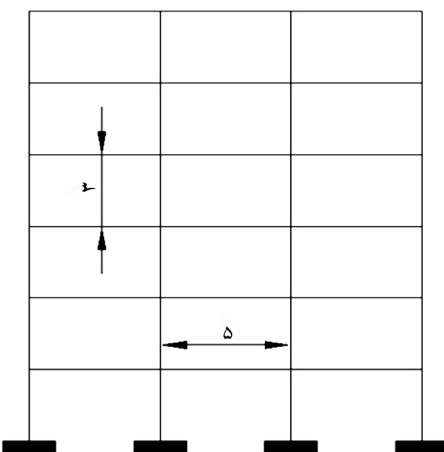
پارامترهای لرزه‌ای زیادی در ادبیات فنی معرفی شده‌اند. تعدادی از آنها به صورت مستقیم از نگاشت ثبت شده و تعدادی دیگر به صورت غیر مستقیم از تحلیل بر روی نگاشت ثبت شده به دست می‌آیند. در جدول ۲۶ پارامتر زلزله استفاده شده در این مقاله به همراه تعریف و نوع وابستگی آنها به شتاب، سرعت، فرکانس، زمان و انرژی قابل مشاهده است. برای تعریف و روند محاسبه این پارامترها می‌توان به مرجع [۲۰] مراجعه کرد. تعداد ۲۶ پارامتر از هر رکورد به دست آمده که در کل ۲۷۸۲ پارامتر لرزه‌ای مورد بررسی قرار گرفت. لازم به ذکر است که بر اساس آزمون آماری انجام شده، توزیع اکثر این پارامترها در زلزله‌های انتخابی به صورت توزیع نرمال به دست آمد.

۳- شاخص خرابی

شاخص‌های خرابی در ارزیابی میزان خسارت پذیری سازه‌ها در برابر زلزله مورد استفاده قرار می‌گیرد. چنین شاخص‌هایی پایه و اساس خسارت‌پذیری در سازه‌ها می‌باشد. موقع خسارت در سازه‌ها با توجه به مصالح تشکیل دهنده‌ی آن متفاوت است، لذا لازم است شاخص خسارت را در هر کدام از سازه‌ها جداگانه

جدول (۳): پارامترهای جنبش نیرومند زمین استفاده شده

نوع یا وابستگی	واحد	تعریف	پارامتر لرزه‌ای	شماره
شتاب	g	$S_a(T_1) \left(\frac{S_a(T_1)}{S_a(2T_1)} \right)^{0.5}$	Cordova	۱
شتاب	g	$S_a(T_1, \zeta = 0.05)$	$S_a(T_1)$	۲
شتاب	g	$\max a(t) $	PGA	۳
سرعت	(سانتی متر بر ثانیه)	$\max v(t) $	PGV	۴
جایه جایی	(سانتی متر)	$\max d(t) $	PGD	۵
فرکانس	(ثانیه)	$\frac{\max v(t) }{\max a(t) }$	V_{max} / A_{max}	۶
شتاب	g	$\sqrt{\left(\frac{1}{t_{tot}} \int_0^{t_{tot}} a(t)^2 dt \right)}$	Acceleration RMS	۷
سرعت	(سانتی متر بر ثانیه)	$\sqrt{\left(\frac{1}{t_{tot}} \int_0^{t_{tot}} v(t)^2 dt \right)}$	Velocity RMS	۸
جایه جایی	(سانتی متر)	$\sqrt{\left(\frac{1}{t_{tot}} \int_0^{t_{tot}} d(t)^2 dt \right)}$	Displacement RMS	۹
شتاب	(متر بر ثانیه)	$\frac{\pi}{2g} \int_0^{t_{tot}} a(t)^2 dt$	Arias Intensity	۱۰
شتاب	-	$I_c = a_{rms}^{1.5} \sqrt{t_d}$	Characteristic Intensity	۱۱
سرعت	(متر مربع بر ثانیه)	$\int_0^{t_{tot}} v(t)^2 dt$	Specific Energy Density	۱۲
سرعت	(سانتی متر بر ثانیه)	$\int_0^{t_{tot}} a(t) dt$	CAV	۱۳
شتاب	(سانتی متر بر ثانیه)	$\int_{0.1}^{0.5} S_a(T, \zeta = 0.05) dT$	ASI	۱۴
سرعت	(سانتی متر)	$\int_{0.1}^{2.5} S_v(T, \zeta = 0.05) dT$	VSI	۱۵
سرعت	(سانتی متر)	$\int_{0.1}^{2.5} PSV(T, \zeta = 0.05) dT$	Housner Intensity	۱۶
شتاب	g	سومین شتاب حد اکثر اندازه گیری شده	SMA	۱۷
سرعت	(سانتی متر بر ثانیه)	سومین سرعت حد اکثر اندازه گیری شده	SMV	۱۸
شتاب	g		EDA	۱۹
شتاب	g		A95 Parameter	۲۰
فرکانس	(ثانیه)	پریود غالب	T_p	۲۱
فرکانس	(ثانیه)	$\frac{\sum C_i^2 / f_i}{\sum C_i^2}$	T_m	۲۲
زمان	(ثانیه)		Uniform Duration(0.05)	۲۳
زمان	(ثانیه)		Bracketed Duration (0.05)	۲۴
زمان	(ثانیه)		SD(5%-95%)	۲۵
زمان	(ثانیه)		Effective Duration	۲۶

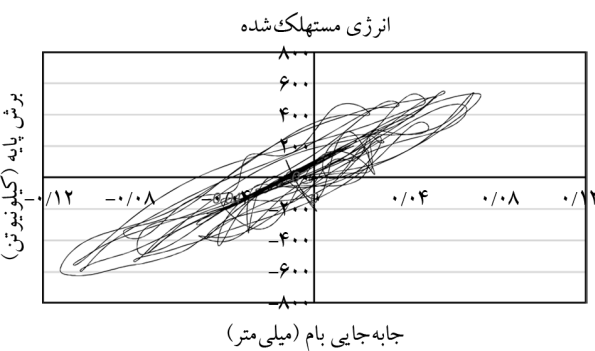


شکل (۲): هندسه قاب مورد مطالعه [۲۳].

جدول (۴): مشخصات مصالح قاب‌های مورد استفاده.

۵ متر	دهانه قاب‌ها
۳ متر	ارتفاع طبقات
۲۷/۵ کیلونیوتن بر متر	بار (زنده + مرده)
۲۳۵ مگاپاسکال	Fy (تش جاری شدگی)
۲۰۰ گیگاپاسکال	E (مدول یانگ)
۰/۰۱	β (سخت‌شوندگی کرنشی)

نیز مدل‌سازی گردید و زمان تناوب مودهای اول، دوم و سوم محاسبه شده در دو نرم‌افزار با یکدیگر مقایسه شد. این مقایسه در جدول (۶) ارائه شده است. همان‌طور که ملاحظه می‌شود زمان تناوب‌های به دست آمده دو نرم‌افزار OpenSEES و ETABS انتخاب قابل قبولی دارند و این نشان‌دهنده‌ی صحت مدل‌سازی مقاطع، هندسه و بارگذاری قاب‌ها در نرم‌افزار OpenSEES می‌باشد.



شکل (۱): نمودار جابه‌جایی بام و برش پایه.

۴- معرفی مشخصات مدل‌های مورد مطالعه و صحت‌سنجی

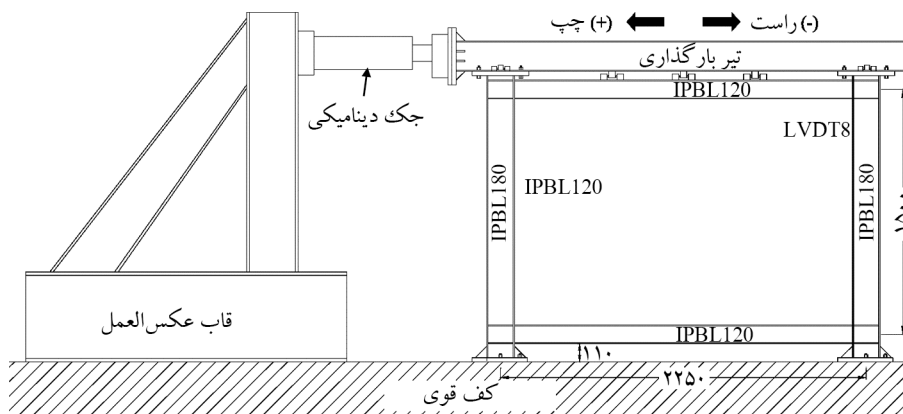
در این پژوهش تعداد شش قاب خمشی فولادی با ۳، ۴، ۵، ۶، ۷ و ۸ طبقه و سه دهانه انتخاب شد. لازم به ذکر است که این قاب‌ها از مرجع [۲۳] استخراج شده است. مشخصات هندسی و مقاطع این قاب‌ها در شکل (۲) و جدول‌های (۴) و (۵) آورده شده است. تحلیل دینامیکی غیر خطی تاریخچه زمانی با استفاده از نرم‌افزار OpenSEES تحت شتاب نگاشت‌های مشخص شده بر روی مدل‌های مورد بررسی، انجام می‌شود. مدل رفتاری مصالح در نرم‌افزار OpenSEES برای مقاطع فولادی از مصالح فولادی با جنس steel02 و مقاطع سازه از جنس fiber، میرایی سازه ۵ درصد است و در عین حال فرآیند تحلیل غیرخطی از دستور میرایی رایلی به منظور محاسبه میرایی سازه در هر گام تحلیل استفاده شده است. در پایان تاییح حاصل از تحلیل بر روی مدل‌ها و میزان همبستگی آنها با پارامترهای لرزه‌ای با یکدیگر مقایسه می‌شود. برای اطمینان از مدل‌سازی و بارگذاری انجام شده در [۲۴] تمامی قاب‌های استفاده شده، در نرم‌افزار OpenSEES

جدول (۵): مشخصات تیر و ستون قاب‌های مورد استفاده [۲۳].

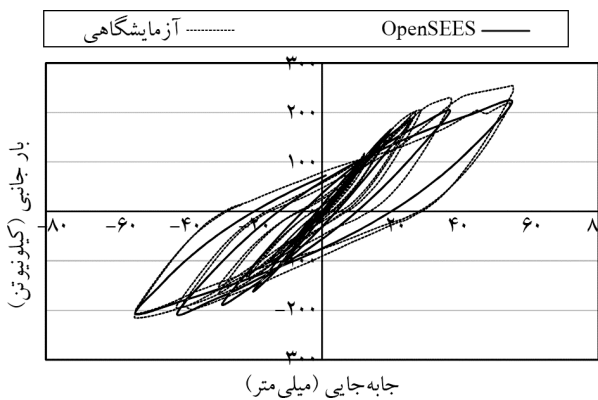
تعداد طبقات	ستون‌ها: (HEB)-تیرها: (IPE)
۳	(۳-۱)(۳۳۰-۲۶۰)
۶	(۶-۵)(۳۳۰-۲۸۰+(۴-۱)(۳۶۰-۳۰۰)
۹	(۹-۸)(۳۳۰-۳۲۰+(۷-۶)(۳۶۰-۳۴۰+(۵-۲)(۴۰۰-۳۶۰+(۱)(۳۶۰-۳۶۰)
۱۲	(۱۲-۱۱)(۳۳۰-۳۶۰+(۹-۸)(۴۰۰-۳۶۰+(۷-۶)(۴۵۰-۴۰۰+(۵-۴)(۴۵۰-۴۵۰+(۳-۲)(۴۰۰-۴۵۰+(۱)(۳۶۰-۴۵۰)
۱۵	(۱۵)(۳۳۰-۴۵۰+(۱۴-۱۳)(۳۶۰-۴۵۰+(۱۲-۸)(۴۰۰-۴۵۰+(۷-۶)(۴۰۰-۵۰۰+(۵-۴)(۴۵۰-۵۵۰+(۳-۲)(۴۰۰-۵۵۰+(۱)(۳۰۰-۵۵۰)
۲۰	(۲۰)(۳۳۰-۵۰۰+(۱۹-۱۸)(۳۶۰-۵۰۰+(۱۷)(۴۰۰-۵۰۰+(۱۶-۱۴)(۴۰۰-۵۵۰+(۱۳-۱۱)(۴۵۰-۵۵۰+(۱۰-۶)(۴۵۰-۶۰۰+(۵-۴)(۴۵۰-۶۵۰+(۳-۲)(۴۰۰-۶۵۰+(۱)(۳۰۰-۶۵۰-۵۰۰+(۱۷)(۴۰۰-۵۰۰+(۱۶-۱۴)(۴۰۰-۵۵۰+(۱۳-۱۱)(۴۵۰-۵۵۰+(۱۰-۶)(۴۵۰-۶۰۰+(۵-۴)(۴۵۰-۶۵۰+(۳-۲)(۴۰۰-۶۵۰+(۱)(۳۰۰-۶۵۰)

جدول (۶): مقایسه زمان تناوب در ETABS و OpenSEES

تعداد طبقات	زمان تناوب	OpenSEES	ETABS	تعداد طبقات	زمان تناوب	OpenSEES	ETABS
۱۲	مود اول	۰/۷۸	۰/۷۲	۳	مود اول	۰/۶۷	۰/۷۸
	مود دوم	۰/۶۳	۰/۶۱		مود دوم	۰/۲۱	۰/۲
	مود سوم	۰/۳۴	۰/۳۳		مود سوم	۰/۱۱	۰/۱۱
۱۵	مود اول	۲/۲	۲/۱۳	۶	مود اول	۱/۱۷	۱/۱۳
	مود دوم	۰/۷۴	۰/۷۲		مود دوم	۰/۳۸	۰/۳۷
	مود سوم	۰/۴۲	۰/۴۱		مود سوم	۰/۲۱	۰/۲
۲۰	مود اول	۲/۷۲	۲/۶۴	۹	مود اول	۱/۵۱	۱/۴۶
	مود دوم	۰/۹۳	۰/۹		مود دوم	۰/۵۲	۰/۵
	مود سوم	۰/۵۱	۰/۵		مود سوم	۰/۲۸	۰/۲۷



شکل (۳): نمونه آزمایشگاهی قاب مورد استفاده در صحبت سنجی [۲۵].



شکل (۴): مقایسه پاسخ مدل آزمایشگاهی و نرم افزار OpenSEES

۵- آنالیز همبستگی
برای محاسبه همبستگی بین پاسخ سازه و هر یک از پارامترهای جنبش نیرومند زمین از ضریب همبستگی پیرسون استفاده شده است. این ضریب نشان‌دهنده میزان رابطه خطی بین دو متغیر X و Y است که بر اساس میزان همبستگی بین دو متغیر

برای اطمینان از مدل‌سازی و نتایج تحلیل‌های غیرخطی، یک قاب فولادی که توسط محمدی و متولی امامی [۲۵] تحت بارگذاری چرخه‌ای در آزمایشگاه قرار گرفته بود، به عنوان نمونه صحبت سنجی انتخاب گردید. تیرها و ستون‌های این قاب از مقاطع IPBL180 و IPBL120 است که طول دهانه آن برابر ۲/۲۵ متر و ارتفاع آن ۳ متر می‌باشد. مقاومت جاری شدگی و مدول الاستیسیته مصالح فولادی به ترتیب برابر با ۲۹۰ مگاپاسکال و ۱۸۵ گیگاپاسکال گزارش شده است. در شکل (۳) نمای شماتیک قاب و چیدمان بارگذاری آن در آزمایشگاه نشان داده شده است. منحنی‌های رفتار چرخه‌ای در دو حالت آزمایشگاهی و OpenSEES در شکل (۴) قابل مشاهده است. مقایسه این دو منحنی بیان گر دقت قابل قبول مدل‌سازی رفتار غیرخطی در نرم افزار را دارد و با اطمینان بالایی می‌توان به نتایج بدست آمده در این مقاله اطمینان کرد.

قاب‌های با ارتفاع مختلف را با پارامترهای زلزله‌های دور از گسل نشان می‌دهد. با توجه به این شکل می‌توان گفت که در زلزله‌های دور از گسل، پارامتر Cordova در تمام قاب‌های با طبقات مختلف

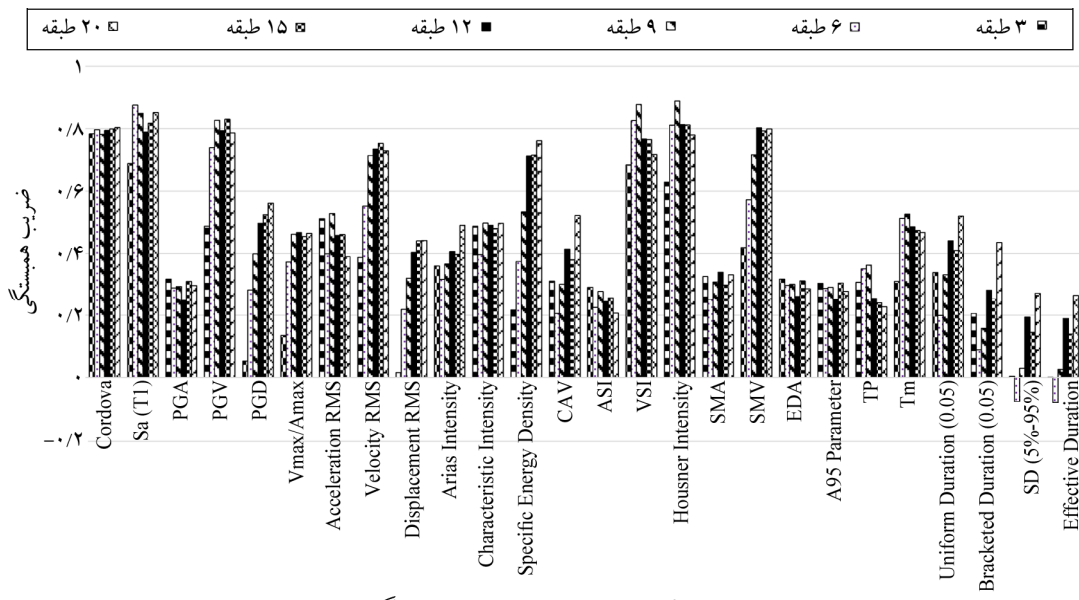
جدول (۷): تفسیر اعداد آماری پیرسون [۲۸].

تفسیر	مقدار ضریب همبستگی
رابطه بسیار قوی	۰/۰۱ تا ۰/۰۸
رابطه قوی	۰/۰۶ تا ۰/۰۸
رابطه متوسط	۰/۰۴ تا ۰/۰۶
رابطه کم (یا ضعیف)	۰/۰۲ تا ۰/۰۴
فقدان رابطه یا رابطه ناجیز	۰/۰ تا ۰/۰۲

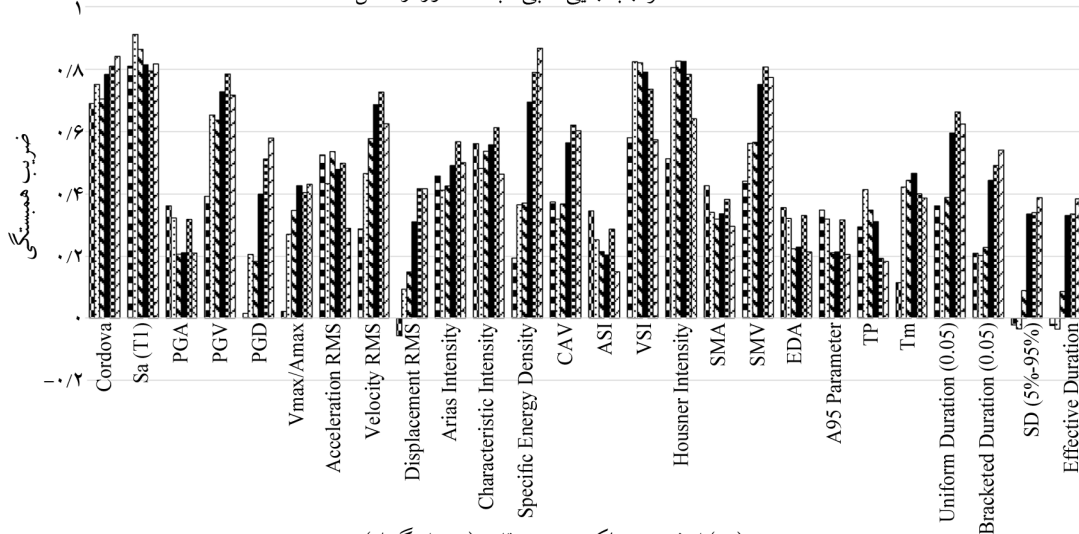
نامبرده اعدادی بین ۱ و -۱ را نتیجه می‌دهد. در حقیقت ضریب همبستگی صفر یانگر عدم وجود رابطه خطی بین دو متغیر مورد مطالعه است. این ضریب از رابطه زیر محاسبه می‌شود [۲۶-۲۷].

$$r_{\text{pearson}} = \frac{\sum_{i=1}^n (x_i - \bar{x})(y_i - \bar{y})}{\sqrt{\sum_{i=1}^n (x_i - \bar{x})^2 \sum_{i=1}^n (y_i - \bar{y})^2}} \quad (2)$$

نتایج کمی به دست آمده از رابطه آماری پیرسون را می‌توان مطابق با جدول (۷) به صورت کیفی تفسیر کرد [۲۸]. نتایج تحلیل همبستگی در شکل‌های (۵) تا (۸) نشان داده شده است. شکل (۵-الف) همبستگی حداکثر جایه‌جایی نسبی طبقات



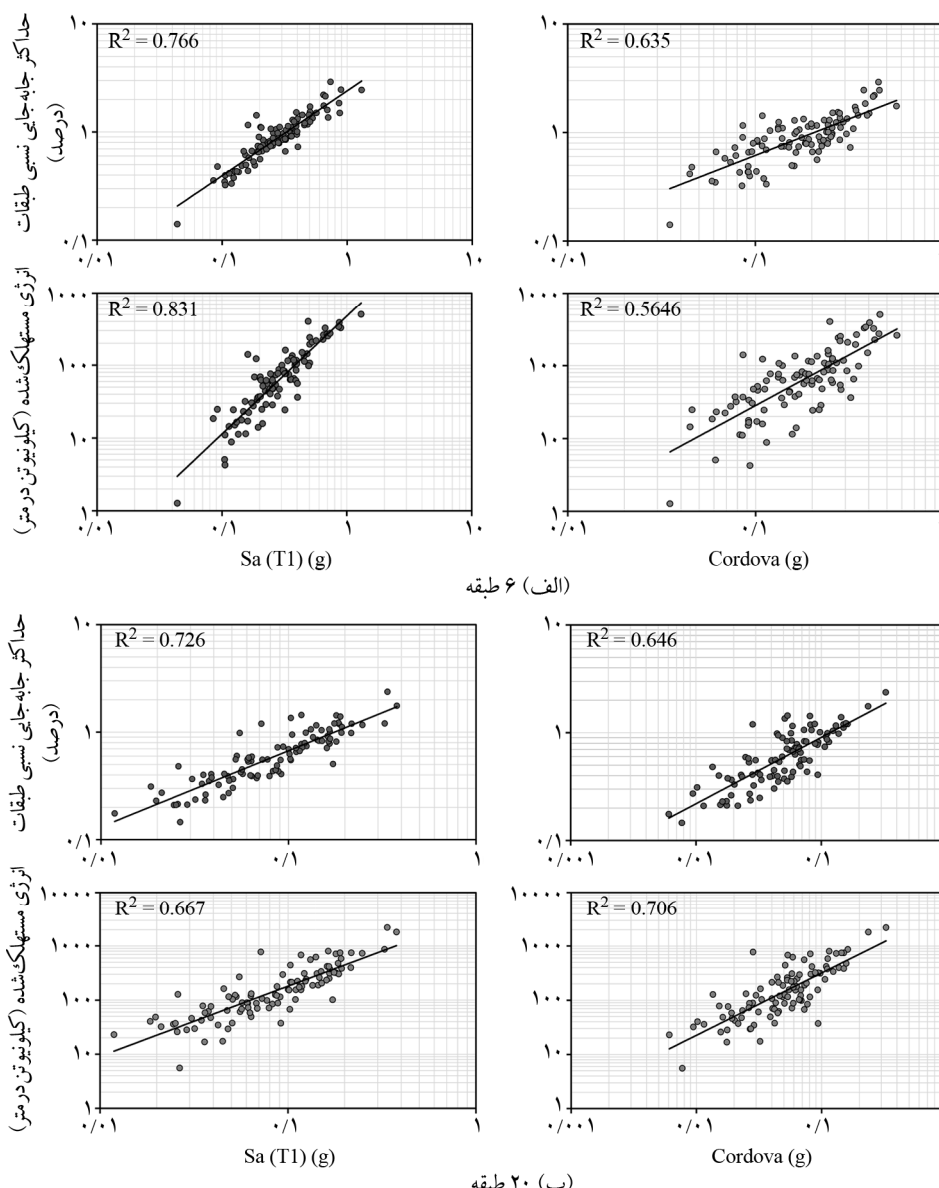
(الف) حداکثر جایه‌جایی نسبی طبقات (دور از گسل)



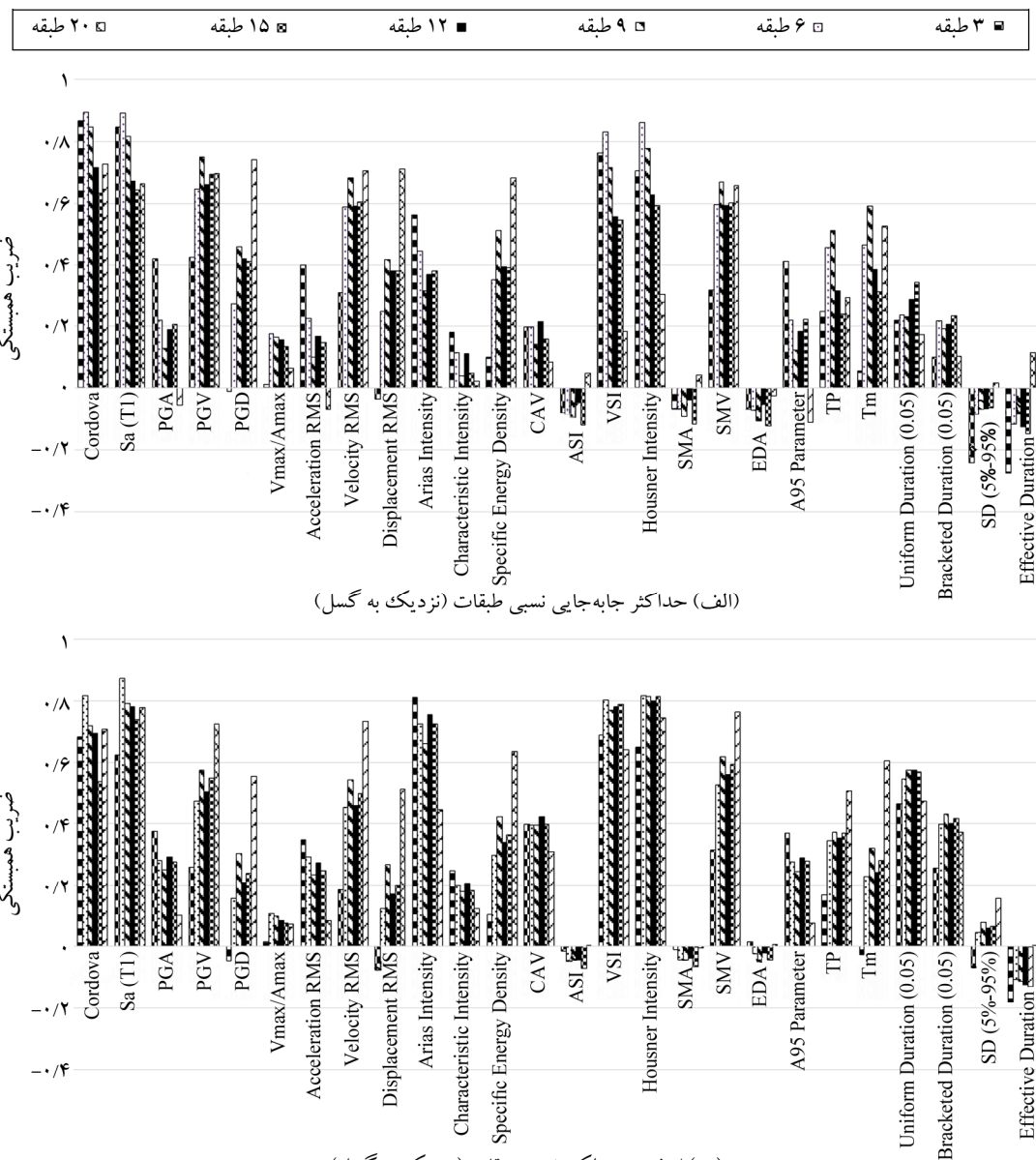
شکل (۵): نمودار همبستگی بین پارامترهای زلزله‌های دور از گسل.

به جابه‌جایی (سازه‌های بلند مرتبه با زمان تناوب زیاد) تقسیم می‌شوند. از این‌رو پارامتری نظری VSI که وابسته به سرعت است بیشترین همبستگی را با پاسخ قاب‌های میان‌مرتبه از خود نشان داده است و با کاهش یا افزایش ارتفاع قاب، این همبستگی کاهش پیدا می‌کند. پارامترهای PGA، A95، EDA و ASI در تمامی قاب‌ها همبستگی ضعیف با حداقل جابه‌جایی نسبی طبقات سازه دارد. همچنین پارامتر PGD که یک پارامتر وابسته به جابه‌جایی است، طبق انتظار با افزایش ارتفاع طبقات همبستگی بیشتری با شاخص خرابی سازه پیدا می‌کند.

همبستگی قوی و یکسانی با حداقل جابه‌جایی نسبی دارد. پارامترهای ($S_a(T_1)$ ، S_a) و شدت هاوزنر نیز به جز در قاب سه طبقه همبستگی بسیار قوی با حداقل جابه‌جایی نسبی طبقات سازه دارند. پارامتر VSI نیز که از جنس سرعت است در قاب‌های ۶ و ۹ طبقه همبستگی بسیار قوی داشته و افزایش ارتفاع میزان همبستگی کاهش پیدا می‌کند. توضیح آنکه به طور کلی سازه‌ها بر حسب ارتفاع به سه دسته حساس به شتاب (سازه‌های کوتاه‌مرتبه با زمان تناوب کوتاه)، حساس به سرعت (سازه‌های میان‌مرتبه با زمان تناوب متوسط) و سازه‌های حساس



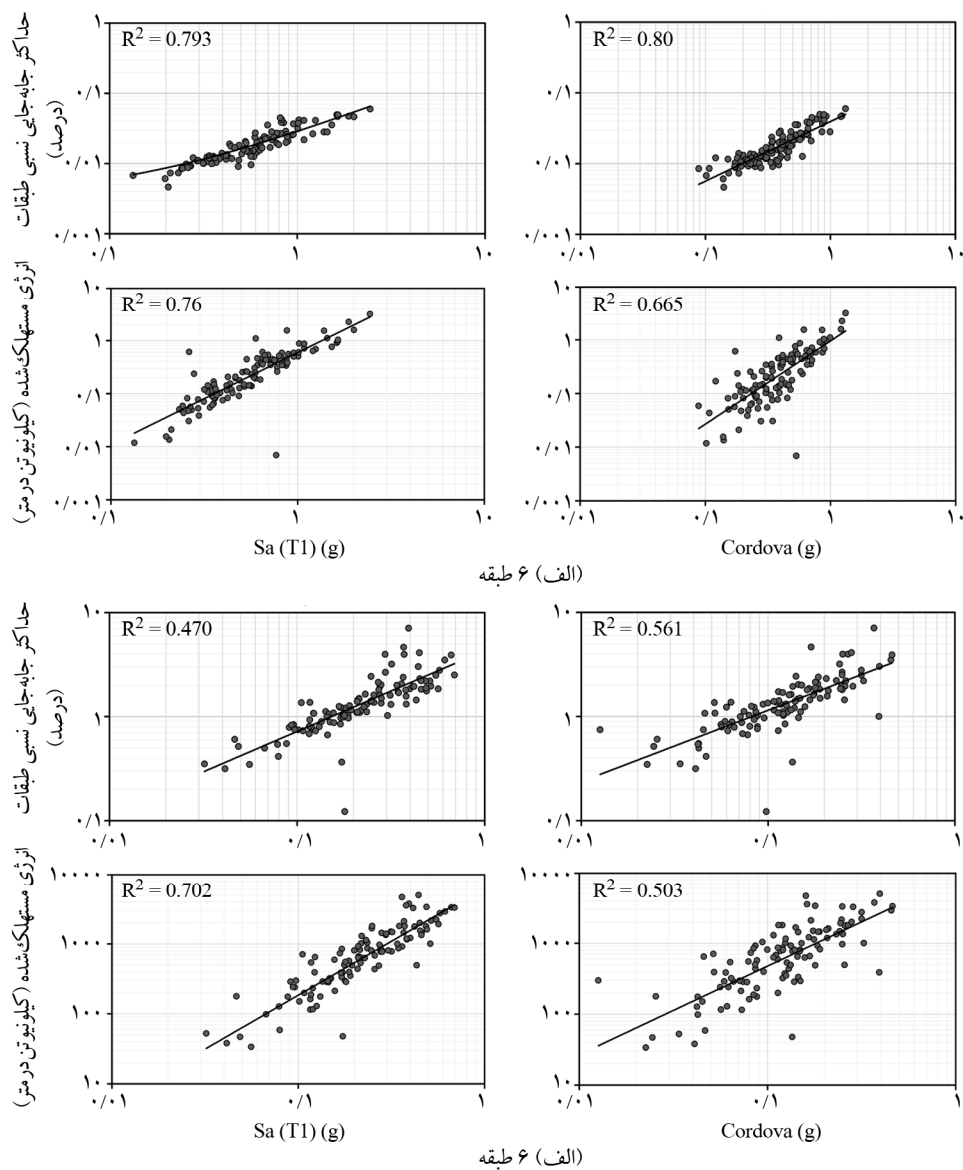
شکل (۶): همبستگی بین پارامترهای شدت $Sa(T_1)$ و $Cordova$ با حداقل جابه‌جایی نسبی طبقات و انرژی مستهلك شده در قاب‌های ۶ و ۲۰ طبقه در زلزله‌های دور از گسل.



شکل (۲): نمودار همبستگی بین پارامترهای زلزله‌های نزدیک به گسل.

نمودارهای توزیع پراکندگی این شدت‌ها با حداکثر جابه‌جایی نسبی طبقات و انرژی مستهلك شده به ترتیب برای قاب‌های ۶ و ۲۰ طبقه آورده شده است. همچنین پارامترهای پارامترهای PGV، Shdt هاوزنر نیز در قاب‌های ۱۲، ۹، ۶ و ۱۵ طبقه همبستگی قوی با انرژی مستهلك شده در قاب دارند. ذکر این نکته ضروری است که پارامتر رایج و مرسوم PGA همانند مطالعات مشابه [۷، ۱۰] در تمامی قاب‌ها همبستگی ضعیفی با حداکثر پاسخ جابه‌جایی طبقات و انرژی مستهلك شده دارد.

شکل (۵-ب) نیز همبستگی پارامترهای زلزله‌های در حوزه دور از گسل را با انرژی مستهلك شده نشان می‌دهد. همان‌طور که مشخص است پارامترهایی نظیر Velocity RMS، PGV که از جنس سرعت هستند بیشترین همبستگی را در قاب ۱۵ طبقه دارند و با کاهش یا افزایش ارتفاع ضریب همبستگی کاهش پیدا کرده است. همان‌طور که مشخص است پارامتر $S_a(T_1)$ و بعد از آن پارامتر Cordova بیشترین همبستگی را با انرژی ذخیره شده در قاب‌ها به خود اختصاص داده‌اند. به منظور ارائه بهتر مقادیر شدت‌های Cordova و $S_a(T_1)$ در شکل‌های (۶-الف) و (۶-ب)



شکل (۸): همبستگی بین پارامترهای شدت Cordova و $S_a(T_1)$ با حداکثر جابه‌جایی نسبی طبقات و انرژی مستهلك شده در قاب‌های ۶ و ۲۰ طبقه در زلزله‌های نزدیک به گسل.

ارتفاع مجدداً کاهش می‌یابد. پارامتر PGD نیز که وابسته به جابه‌جایی است، به طور مشهود در قاب ۲۰ طبقه که حساسیت پیشتری نسبت به جابه‌جایی دارد، همبستگی قوی و با کاهش ارتفاع قاب، همبستگی آن با حداکثر جابه‌جایی نسبی طبقات کاهش می‌یابد. با توجه به شکل (۷-ب) نیز می‌توان گفت که در تمامی قاب‌ها پارامترهای Cordova, $S_a(T_1)$, VSI و شدت هاوزنر در زلزله‌های نزدیک به گسل، همبستگی قوی با انرژی مستهلك شده در قاب دارند. نکته قابل توجه این است که شدت آریاس نیز به جز در قاب با ارتفاع ۲۰ طبقه، در سایر قاب‌ها همبستگی قوی با

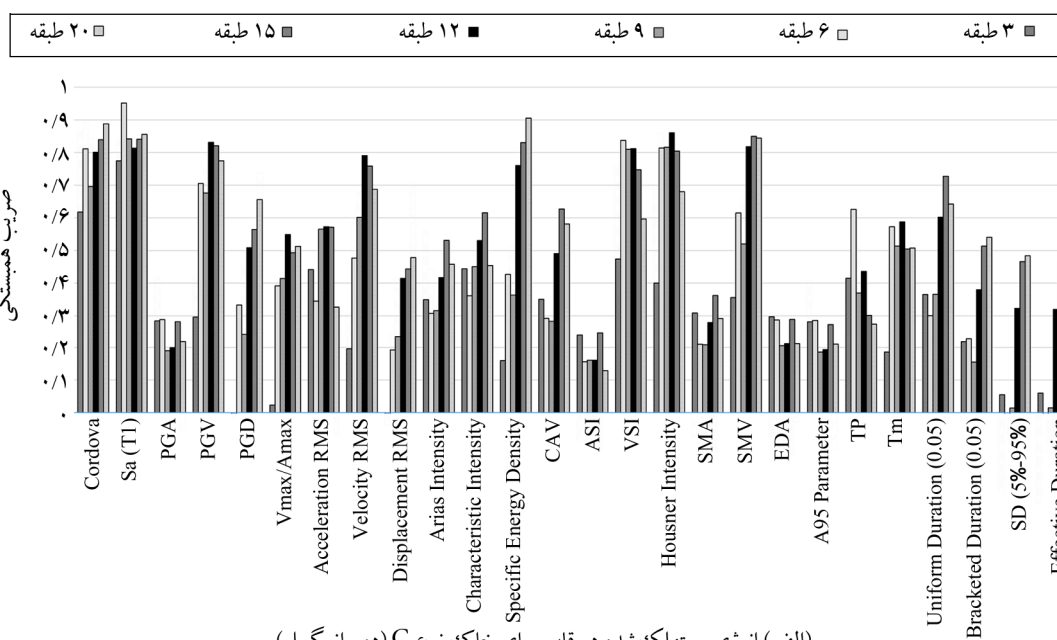
شکل‌های (۷-الف) و (۷-ب) همبستگی پارامترهای زلزله در حوزه‌ی نزدیک به گسل را به ترتیب با حداکثر جابه‌جایی نسبی طبقات و انرژی مستهلك شده نشان می‌دهد. با توجه به شکل (۷-الف)، در تمامی قاب‌ها، بالاترین همبستگی مربوط به پارامترهای $S_a(T_1)$ و Cordova است، هرچند پارامترهای VSI و شدت هاوزنر نیز در قاب‌های با ارتفاع کم و متوسط همبستگی قوی دارند ولی با افزایش ارتفاع این همبستگی کاهش پیدا می‌کند. همبستگی پارامتر PGV که از جنس سرعت است نیز با افزایش ارتفاع بیشتر شده که حداکثر مقدار آن مربوط به قاب ۹ طبقه است و با افزایش

معنی داری با افزایش ارتفاع طبقات همبستگی کاهش پیدا می کند در حالی که در زلزله‌های دور از گسل این تغییرات با ارتفاع مشهود نیست. در شکل (۸) نیز نمودار پراکندگی شدت‌های (T_{1a}) و S_a Cordova که بالاترین همبستگی را با پاسخ سازه داشته‌اند به عنوان نمونه برای قاب‌های ۶ و ۲۰ طبقه که نماینده‌ای از قاب کوتاه و بلند مرتبه است، آورده شده است.

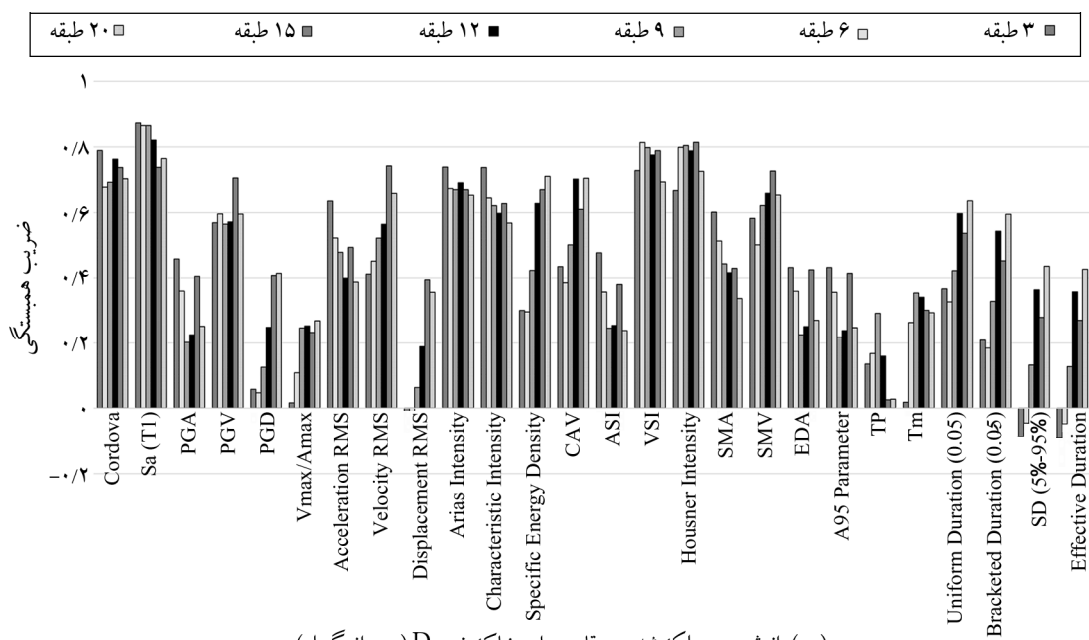
در این قسمت به تأثیر نوع خاک بر همبستگی پارامترهای زلزله در هر دو حوزه دور و نزدیک به گسل با شاخص‌های خرابی مورد مطالعه پرداخته شده است. لازم به ذکر است که در زلزله‌های دور از گسل تعداد ۲۵ رکورد در خاک C و ۲۵ رکورد در خاک D ثبت شده و در رکوردهای نزدیک به گسل، ۲۹ رکورد در خاک C و ۲۶ رکورد در خاک نوع D می‌باشد.

شکل‌های (۹-الف) و (۹-ب) نمودارهای همبستگی پارامترهای زلزله در حوزه دور از گسل را با انرژی مستهلك شده به ترتیب برای خاک نوع C و D نشان می‌دهد. از این نمودارها مشخص است که همبستگی پارامترهای لرزه‌ای در حوزه دور از گسل با انرژی مستهلك شده در قاب‌های مختلف تفاوت زیادی ندارد. ولی این همبستگی شدت هاوزنر با پاسخ سازه در خاک نوع D (قوی) نسبت به خاک نوع C (متوسط) بیشتر می‌باشد.

انرژی مستهلك شده در قاب دارد. همانند زلزله‌های دور از گسل پارامتر مرسوم PGA همبستگی ضعیفی با هر دو شاخص خرابی در نظر گفته شده از خود نشان می‌دهد. نکته قابل توجه این است که با توجه به اینکه زلزله‌های نزدیک گسل محدوده‌ی وسیعی از فرکانس‌ها را در خود جای دارند (محتوا فرکانسی غنی)، همبستگی پارامترهایی مانند شدت هاوزنر و VSI که محدوده‌ی وسیعی از فرکانس‌ها و سرعت‌ها را در تعریفش به کار می‌برد، با انرژی مستهلك شده بیشتر از همبستگی آنها با حداقل جایی نسبی طبقات سازه است. هرچند با مقایسه نتایج حاصل از زلزله‌های دور از گسل با نزدیک به گسل می‌توان گفت در زلزله‌های نزدیک به گسل (حاوی محدوده‌ی وسیعی از محتوا فرکانسی غنی)، به طور مشخص همبستگی‌های به دست آمده از پارامترهای مختلف که وابسته به شتاب، سرعت یا جایه‌جایی هستند با پاسخ قاب‌های با ارتفاع کم، متوسط و زیاد را می‌توان به توضیح آنکه قاب‌های با ارتفاع کم، متوسط و جایه‌جایی معرفی کرد. به طور مثال با توجه به شکل‌های (۷-الف) و (۷-ب) مشخص است که در پارامتری مانند PGA که وابسته به شتاب است، در زلزله‌های نزدیک به گسل به علت محتوا غنی فرکانسی به صورت



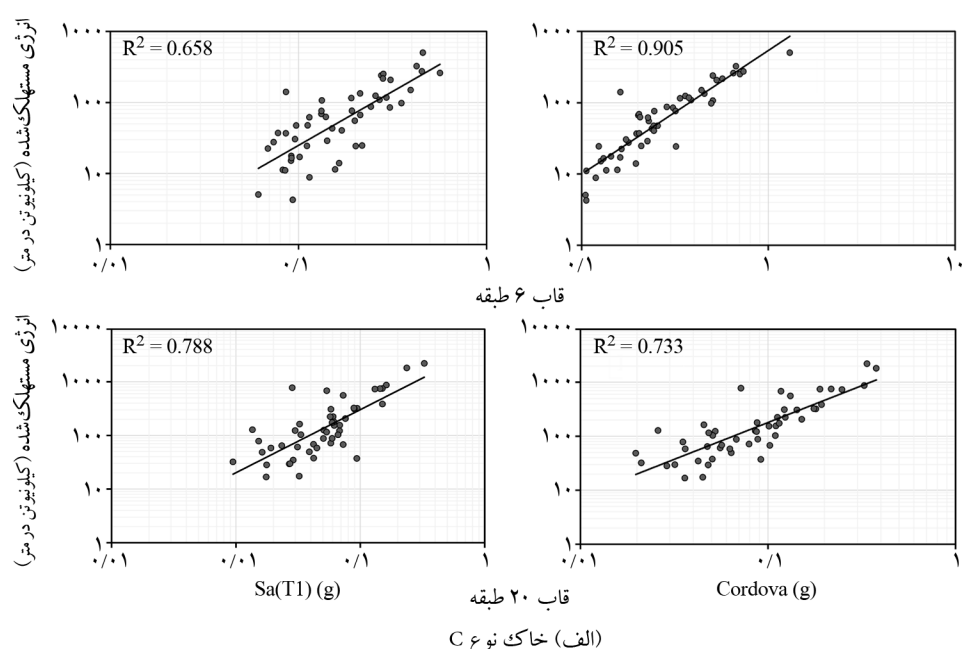
شکل (۹): نمودار همبستگی بین پارامترهای زلزله‌های دور از گسل با انرژی مستهلك شده در قاب.



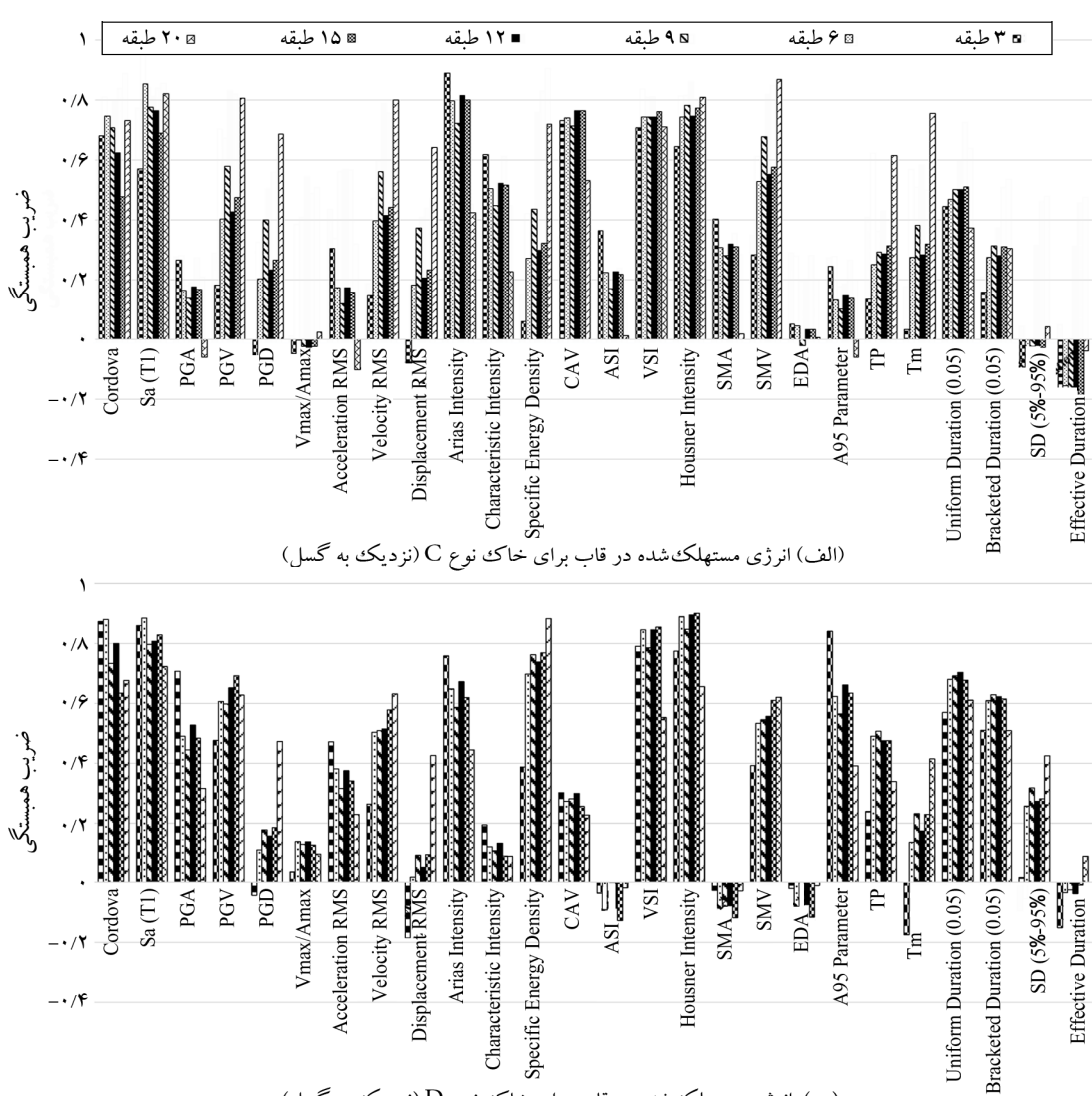
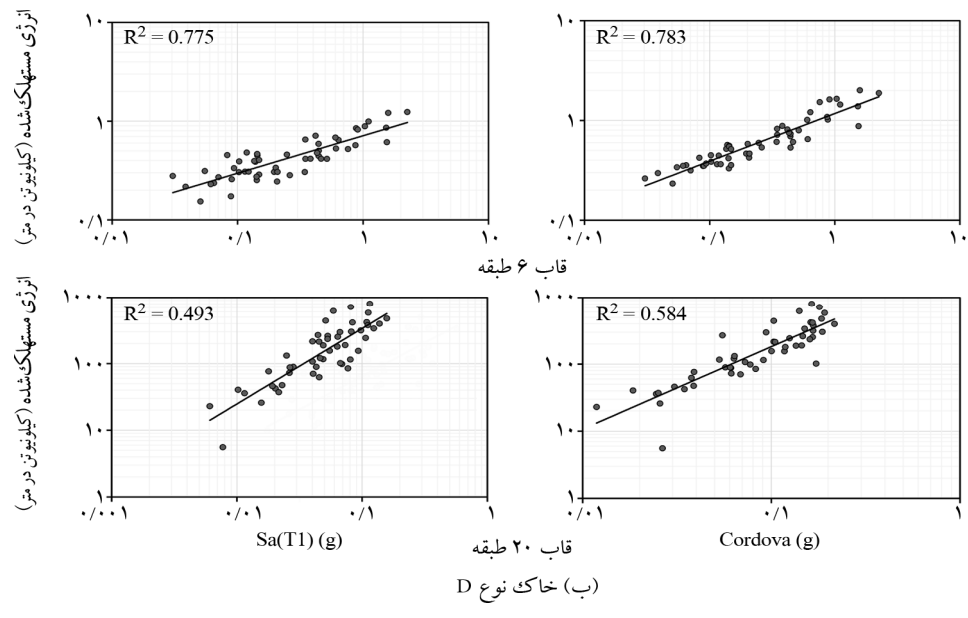
ادامه شکل (۹).

شده به ترتیب برای خاک نوع C و D نشان داده شده است. همان‌طور که مشخص است در این حالت در مجموع همبستگی پارامترهای زلزله در خاک نوع D و خاک نوع C تفاوت چندانی ندارد. هرچند میزان همبستگی پارامترهای PGA و چگالی انرژی مشخصه در خاک نوع D و برای پارامتر CAV در خاک نوع D به صورت معنی‌داری بیشتر است.

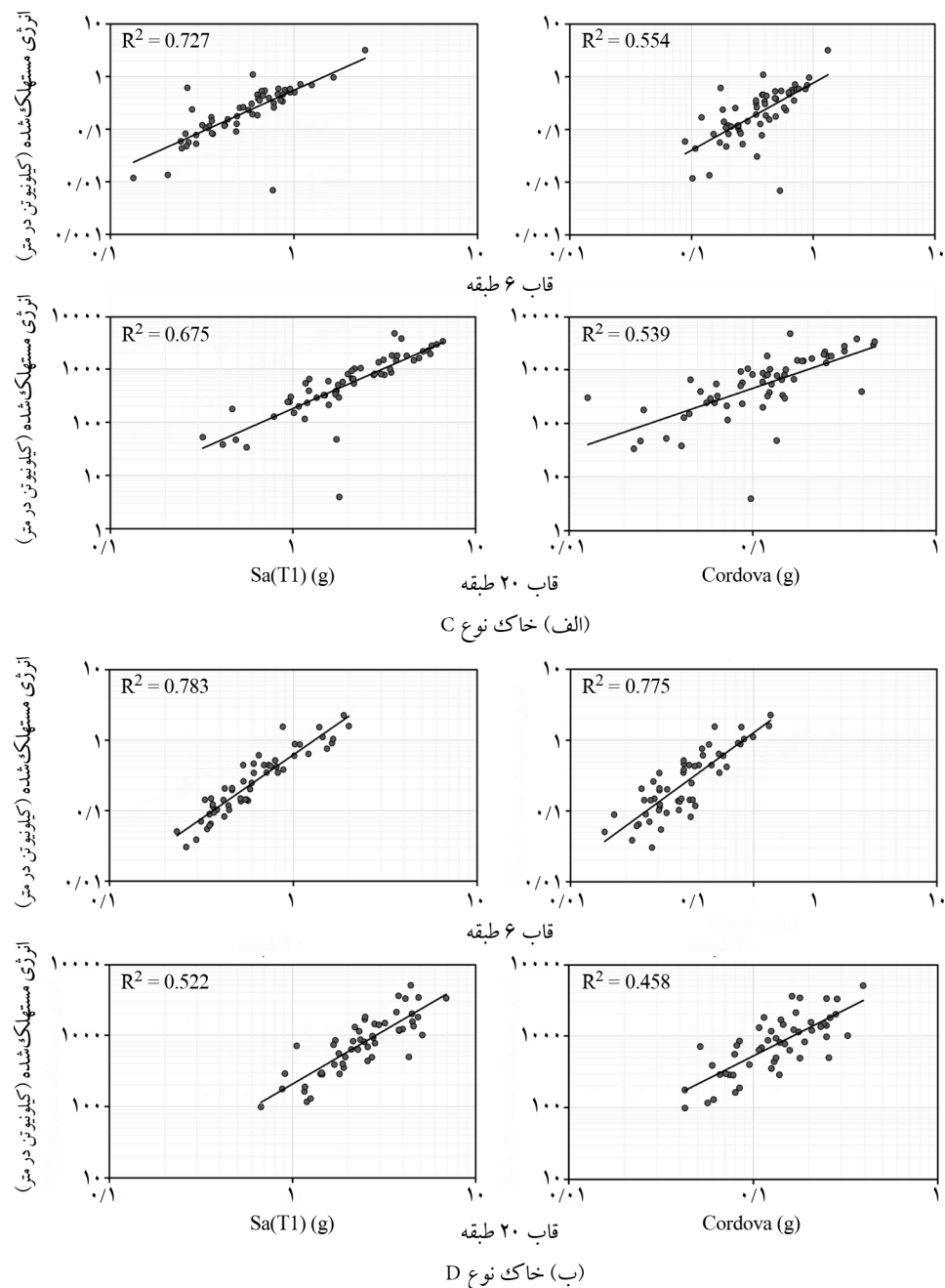
به منظور ارائه بهتر نتایج و مشخص شدن پراکندگی داده‌های شدت‌های Sa(T1) و Cordova و همچنین پراکندگی پاسخ‌های محاسبه شده، شکل‌های (۱۰-الف) و (۱۰-ب) به ترتیب برای داده‌های در خاک‌های نوع C و D قابت رؤیت است. در شکل‌های (۱۱-الف) و (۱۱-ب) نمودارهای همبستگی پارامترهای زلزله در حوزه نزدیک به گسل با انرژی مستهلك



شکل (۱۰): همبستگی بین پارامترهای شدت (T1) و Cordova در زلزله‌های دور از گسل با انرژی مستهلك شده در قاب‌های ۶ و ۲۰ طبقه.



شکل (۱۱): نمودار همبستگی بین پارامترهای زلزله‌های در حوزه نزدیک گسل با انرژی مستهلك شده در قاب.



شکل (۱۲): همبستگی بین پارامترهای شدت ($Sa(T_1)$ و Cordova) در زلزله‌های نزدیک به گسل با انرژی مستهله شده در قاب‌های ۶ و ۲۰ طبقه.

آورده شده است. همان‌طور که مشخص است، هر مقدار پراکندگی داده‌ها از خط مشخص شده بیشتر باشد، ضریب همبستگی کاهش پیدا می‌کند.

۶- نتایج

در این پژوهش به بررسی همبستگی تعداد ۲۶ پارامتر لرزه‌ای از ۱۰۷ رکورد زلزله نزدیک و دور از گسل با پاسخ قاب‌های

هرچند همبستگی پارامترهای مهم و مؤثری (طبقه آنچه در قبل مشاهده و گزارش شد) مانند $S_a(T_1)$ و Cordova در هر دو زلزله دور و نزدیک به گسل برای خاک نوع D قوی‌تر از خاک نوع C است.

نمودارهای پراکندگی داده‌های شدت‌های ($S_a(T_1)$ و Cordova) در مقابل پاسخ انرژی مستهله شده در سازه برای خاک‌های نوع C و D در زلزله‌های نزدیک به گسل به ترتیب در شکل‌های (۱۲-الف) و (۱۲-ب) برای سازه‌های ۶ و ۲۰ طبقه

2. Alvanitopoulos, P.F., Andreadis, I., and Elenas, A. (2009) Interdependence between damage indices and ground motion parameters based on Hilbert–Huang transform. *Measurement Science and Technology*, **21**(2), 025101.
3. Elenas, A. and Liolios, A. (1996) Earthquake induced nonlinear behavior of reinforced concrete frame structures in relation with characteristic acceleration parameters. *Proceedings of the fifth International Conference on Seismic Zonation*, 1013-1020.
4. Chen, Z. and Wei, J. (2013) Correlation between ground motion parameters and lining damage indices for mountain tunnels. *Natural Hazards*, **65**(3), 1683-1702.
5. Chen, Z., Shi, C., Li, T., and Yuan, Y. (2012) Damage characteristics and influence factors of mountain tunnels under strong earthquakes. *Natural Hazards*, **61**(2), 387-401.
6. Akkar, S. and Özen, Ö. (2005) Effect of peak ground velocity on deformation demands for SDOF systems. *Earthquake Engineering and Structural Dynamics*, **34**(13), 1551-1571.
7. Cao, V.V. and Ronagh, H.R. (2014) Correlation between seismic parameters of far-fault motions and damage indices of low-rise reinforced concrete frames. *Soil Dynamics and Earthquake Engineering*, **66**, 102-112.
8. Barbosa, A.R., Ribeiro, F.L., and Neves, L.A. (2017) Influence of earthquake ground-motion duration on damage estimation: application to steel moment resisting frames. *Earthquake Engineering & Structural Dynamics*, **46**(1), 27-49.
9. Nikoo, B., Haghshenas, M., and Eslamdoust, R. (2016) Assesment of interdependency between Near–Field seismic acceleration parameters and overall structural damage index in the concrete buildings. *International Conference on Research in Civil Engineering, Architecture, Urban Planning and Sustainable Environment*, Istanbul, Turkey.
10. Habibi, A. and Jami, E. (2017) Correlation between ground motion parameters and target displacement

فولادی کوتاه تا بلند مرتبه با انجام تحلیل غیرخطی تاریخچه زمانی با استفاده از نرم‌افزار OpenSees پرداخته شد. این رکوردها از مرکز PEER استخراج شد. بررسی نتایج نشان می‌دهد در هر دو حوزه دور و نزدیک گسل پارامترهای Cordova، T_1 و $S_a(T_1)$ و شدت VSI قوی‌ترین همبستگی را در دو شاخص خرابی حداقل جایه‌جایی نسبی طبقات و انرژی مستهلك شده در سازه نسبت به پارامترهای دیگر دارد. همچنین پارامترهای PGA، ASI همبستگی ضعیفی با دو شاخص خرابی مذکور دارند. در ادامه با مقایسه نتایج همبستگی حاصل از زلزله‌های دور با نزدیک به گسل نشان داد که در حوزه دور از گسل پارامترهای Cordova، شتاب طیفی در مود اول نوسان، VSI و شدت هاوزنر همبستگی قوی‌تری نسبت به سایر پارامترهای ذکر شده در حوزه نزدیک از خود نشان داد. در بررسی تأثیر نوع خاک مشخص شد که همبستگی انرژی مستهلك شده در سازه با پارامترهای جنبش نیرومند زمین در خاک نوع D در مجموع قوی‌تر از خاک نوع C می‌باشد. همچنین در حوزه نزدیک گسل پارامترهای Cordova، شتاب طیفی در مود اول نوسان، VSI و شدت هاوزنر در تمام موارد قوی‌ترین همبستگی را دارند و در خاک‌های نوع C و D همبستگی قوی‌تری نسبت به سایر پارامترهای زلزله با شاخص حداقل جایه‌جایی نسبی طبقات و انرژی مستهلك شده دارند. پارامترهای مدت‌زمان مؤثر و مدت‌زمان معنی‌دار همبستگی ضعیف‌تری از خود نشان دادند. نکته قابل توجه این است که با توجه به محتوای فرکانسی غنی در زلزله‌های نزدیک به گسل، حساسیت همبستگی پارامترهای لرزه‌ای مختلف واپسی به شتاب، سرعت و جایه‌جایی با پاسخ سازه‌های با پریود مختلف مشهود است. به علاوه نتایج بدست آمده مجددًا ضعف پارامتر PGA را در برآورد خسارت لرزه‌ای همانند تحقیقات پیشین نشان می‌دهد.

مراجع

1. Elnashai, A.S. and Di Sarno, L. (2008) *Fundamentals of Earthquake Engineering*. New York: Wiley.

- Council, and United States Federal Emergency Management Agency. US Department of Homeland Security.
20. Kramer, S.L. (1996) *Geotechnical Earthquake Engineering*. Pearson Education India.
 21. Park, Y.J., Ang, A.H.S., and Wen, Y.K. (1984) Seismic damage analysis and damage-limiting design of reinforced concrete building. *Structural Research Series*, 516.
 22. Naeim, F. (2001) *The Seismic Design Handbook*, 2nd Edition.
 23. Dimopoulos, A.I., Bazeos, N., and Beskos, D.E. (2012) Seismic yield displacements of plane moment resisting and x-braced steel frames. *Soil Dynamics and Earthquake Engineering*, **41**, 128-140.
 24. Mazzoni, S., McKenna, F., Scott, M.H., and Fenves, G.L. (2007) *The OpenSees Command Language Manual, Version 2.0*. Pacific Earthquake Engineering Research Center.
 25. Mohammadi, M. and Motovali Emami, S.M. (2019) Multi-bay and pinned connection steel infilled frames; an experimental and numerical study. *Engineering Structures*, **188**, 43-59.
 26. Spiegel, M.R. (1966) *Theory and Problems of Statistics*. Ed. revol. London: McGraw-Hill.
 27. Gibbons, J.D. and Chakraborti, S. (2020) *Nonparametric Statistical Inference*. CRC Press.
 28. Montgomery, D.C. and Runger, G.C. (2010) *Applied Statistics and Probability for Engineers*. John Wiley & Sons.
- واژه‌نامه**
- | | |
|-------------------------------|---------------------------|
| Velocity Spectrum Intensity | ۱-شدت طیف سرعت |
| Housner Intensity | ۲-شدت هاوزنر |
| Arias Intensity | ۳-شدت آریاس |
| Specific Energy Density (SED) | ۴-چگالی انرژی مشخصه |
| Root Mean Square of Velocity | ۵-جذر میانگین مربعات سرعت |
| Significant Duration | ۶-مدت زمان معنی دار |
- of steel structures. *International Journal of Civil Engineering*, **15**(2), 163-174.
 11. Housner, G.W. (1952) Spectrum intensities of strong-motion earthquakes. Proceeding of the symposium on earthquake and blast effects on structures in Los Angeles, California, 20-36.
 12. Elenas, A. (2010) Correlation between seismic acceleration parameters and overall structural damage indices of buildings. *Soil Dynamics and Earthquake Engineering*, 93-100.
 13. Mohammad, S.S., Sasan, M., and Ali, K-C. (2013) Interrelation between time-frequency domain parameters of earthquake records and structural damage index for medium height RC frames. *Technical Journal of Engineering and Applied Sciences*, **3**(20), 2734-2742.
 14. Safi, M. and Soleymani, A. (2014) Investigation of correlations between seismic parameters and damage indices for earthquakes of Iran Region. *International Journal of Engineering*, **27**(2), 283-292.
 15. Maniyar, M.M. and Khare, R.K. (2011) Selection of ground motion for performing incremental dynamic analysis of existing reinforced concrete buildings in India. *Current Science*, **100**(5), 701-713.
 16. Kenari, M.S. and Celikag, M. (2019) Correlation of Ground Motion Intensity Measures and Seismic Damage Indices of Masonry-Infilled Steel Frames. *Arabian Journal for Science and Engineering*, **44**(5), 5131-5150.
 17. Pinzón, L.A., Vargas-Alzate, Y.F., Pujades, L.G., and Diaz, S.A. (2020) A drift-correlated ground motion intensity measure: Application to steel frame buildings. *Soil Dynamics and Earthquake Engineering*, **132**, 106096.
 18. Kamal, M. and Inel, M. (2021) Correlation between ground motion parameters and displacement demands of mid-rise RC buildings on soft soils considering Soil-Structure-Interaction. *Buildings*, **11**(3), 1-20.
 19. FEMA P695 (2009) *Quantification of Building Seismic Performance Factors*. Applied Technology

Correlation between Seismic Parameters of far and Near Fault Ground Motion and Response of Moment Resisting Steel Frames

Asghar Bahadori¹ and Sayed Mohammad Motovali Emami^{2*}

1. M.Sc. Graduate, Department of Civil Engineering, Najafabad Branch, Islamic Azad University, Najafabad, Iran
2. Assistant Professor, Department of Civil Engineering, Najafabad Branch, Islamic Azad University, Najafabad, Iran,

*Corresponding Author, email: sm.emami@pci.iaun.ac.ir

In seismic countries, with regard to the damages and losses caused by ground motion, the earthquake resistant design of structures is a critical matter. Previous earthquakes have shown that the regulation in seismic codes does not guarantee the buildings to resist against seismic forces and may cause severe damage in the structures. This subject goes back to the design philosophy in seismic code and also weakness in the hypothesis of seismic design of structures. Noted that, the earthquake records include many inherent parameters affected the response of the structures. Meanwhile the seismic codes use only a few of them in the designing process such as spectral acceleration at the first mode period, i.e., $Sa(T_1)$ and well-known parameter PGA. In recent decades, many studies focus on the correlation between seismic parameters and the response of structures and found out that the used parameters in the codes do not have the best correlation with the response of structures. This finding depends on the databank of the records including the site-to-fault distance intensity of the earthquake, frequency content etc. as well as the type of earthquake resistant structure. This paper deals with a comprehensive study on the correlation between both far-field and near-field earthquake parameters and response of moment resisting steel frames. For this purpose, a series of nonlinear time history analyses were carried out on 3, 6, 9, 12, 15 and 20 moment resisting steel frame using OpenSEES. 107 records pair included 100 far-field records and 114 near-field records were selected from FEMA P695 as well as Pacific Earthquake Engineering Research (PEER) databases. 26 seismic parameters were extracted from these records, i.e. 5564 earthquake parameters were considered. Two damage indices including maximum inter-story drift (MISD) and the amount of absorbed energy were calculated in studied frames. To assess the relationship between seismic parameters and structural damage Pearson correlation coefficient was determined. The results show that Corvoda, $Sa(T_1)$, PGV, velocity spectral intensity (VSI), Housner intensity have the best correlation with response of structure in MISD and structure absorb energy in both far-field and near-field earthquakes. Also, the correlation coefficient of displacement dependent parameters is enhanced by increasing the number of stories. Moreover, the results indicate a weak correlation between PGA and response of structures for both MISD and absorbed energy as reported by previous researches. It should be noted that due to the rich frequency content of near-field earthquakes, the correlation of their parameters with seismic response of the studied frames was sensitive to the frames height. Noted that the short period structures (short height) are named acceleration sensitive and the medium and high rise building are recognized as velocity and displacement sensitive, respectively. Therefore, because of rich frequency content of near-field earthquakes, the correlation between acceleration based parameters such as PGA and displacement response of the structures are reduced by increasing the frame height. In a contrary manner, the correlation between damage indices of the structures with displacement based parameters is increased by increasing the frame height. Meanwhile, the correlation between damage indices of the structures with velocity based parameters such as PGV is the most for mid-rise structures. According to the result it can be concluded that the parameters depended on velocity like Housner intensity and velocity spectral intensity have the best correlation with MISD and absorbed energy. Also, the parameters depended on earthquake duration like Significant Duration and Effective Duration have weak correlation with the response of structures. It is shown that one cannot expect the longer duration earthquake result in more damage i.e. maximum story drift in structures.

Keywords: Strong Motion Parameters, Moment Resisting Steel Frame, Far and Near Fault Earthquake, Nonlinear Time History Analysis, Correlation.